

تأثیر حرکات پالس مانند زلزله‌های حوزه نزدیک گسل دارای خصوصیت جهت‌پذیری پیش‌رونده بر پاسخ سازه‌های بتنی

میثم محبوبی نیازمندی^{۱*}، سهراب میراثی^۲، محمد مؤمنی^۳، محمد بخشنده^۳، حسین لطفی^۴

- ۱- دکترای تئوریک، دانشکده مهندسی عمران و محیط زیست، دانشگاه صنعتی شیرواز، شیرواز، ایران
۲- استادیار، دانشکده مهندسی عمران، واحد شهر کرد، دانشگاه آزاد اسلامی، شهر کرد، ایران
۳- دانش آموخته کارشناسی ارشد سازه، دانشکده مهندسی عمران، شیمی، محیط زیست و مصالح، دانشگاه بولونیا، بولونیا، ایتالیا
۴- کارشناس ارشد سازه‌های دریایی، دانشکده مهندسی عمران و محیط زیست، دانشگاه امیرکبیر (پلی تکنیک)، تهران، ایران

چکیده

خصوصیات زلزله‌ها برای ساختگاه‌های نزدیک به چشممه لرزه‌زا و دور از آن، هم به لحاظ دامنه و هم محتوای فرکانسی متفاوت است. مطالعه رفتار سازه‌ها تحت اثر زلزله‌های حوزه نزدیک در مقایسه با زلزله‌های دور از گسل بیانگر اثرات بیشتر این نوع زلزله بر سازه بوده‌اند. عمدۀ این اثرات به خصوصیات جهت‌پذیری پیش‌رونده و حرکت پرتایی دارای اثر تغییر مکان ماندگار وابسته است. از این‌رو خصوصیات زلزله‌های نزدیک گسل باید در طراحی و تحلیل سازه‌ها در نظر گرفته شود. هدف تحقیق حاضر بررسی اثر جهت‌پذیری پیش‌رونده زلزله‌های حوزه نزدیک بر پاسخ سازه‌های بتنی می‌باشد. بدین منظور رکوردهای حاصل از ایستگاه‌های مختلف زلزله چی‌چی به عنوان شتابنگاشت‌های مبنا انتخاب شد. سپس با استفاده از روش‌های تحلیلی، طیف پاسخ این رکوردها با در نظر گرفتن اثر جهت‌پذیری پیش‌رونده و بدون آن (حذف پالس‌های غالب) در جهت‌های شرق-غرب و شمال-جنوب تعیین شد. در ادامه با تحلیل تاریخچه زمانی بر روی دو سازه ۱۰ طبقه و ۱۵ طبقه بتنی، برای هفت رکورد زلزله چی‌چی، دریافت (جابجایی نسبی) و برش پایه طبقات در سازه‌های مذکور بررسی شد. نتایج نشان داد که با توجه به ماهیت غیرقابل پیش‌بینی زلزله، پاسخ دریافت و برش پایه طبقات در سازه‌های مورد مطالعه در جهات مختلف در برخی موارد افزایش و یا کاهش یافته است. بنابراین می‌توان دریافت که جهت‌پذیری همیشه تأثیر یکنواختی بر رفتار سازه نداشته و از الگوی ثابتی پیروی نمی‌کند. علاوه بر این، نتایج نشان داد که با افزایش ارتفاع سازه و در نتیجه افزایش پریود آن، تأثیر جهت‌پذیری رکورد زلزله بر پاسخ سازه افزایش می‌یابد. این در حالی است که در سازه‌های کوتاه‌تر در بسیاری از موارد جهت‌پذیری رکورد زلزله، تأثیر چندانی بر پاسخ سازه نداشته و حتی در برخی موارد، باعث کاهش آن می‌گردد.

کلمات کلیدی: زلزله حوزه نزدیک، خصوصیت جهت‌پذیری پیش‌رونده، زلزله چی‌چی، پاسخ لرزه‌ای سازه‌های بتنی، دریافت و برش پایه طبقات.

*نویسنده مسئول: میثم محبوبی نیازمندی

پست الکترونیکی: m.mahboubi@sutech.ac.ir

تاریخ دریافت مقاله: ۰۰/۰۰/۰۰، تاریخ پذیرش مقاله: ۰۰/۰۰/۰۰

۱- مقدمه

ماهیت زلزله‌ها متفاوت بوده و تأثیر آنها بر رفتار لردهای ساختمان‌ها متفاوت است [۱]. همین موضوع ارزیابی مکانیزم اثر انواع مختلف زلزله‌ها بر عملکرد سازه‌ها را به یکی از مسائل مورد توجه مهندسین سازه و زلزله تبدیل نموده است [۲]. در گذشته به دلیل تراکم کم شبکه‌های لرزه‌نگاری، امکان ثبت دقیق زلزله‌ها به راحتی امکان‌پذیر نبود؛ اما به مرور زمان، با افزایش شبکه‌ها و پیشرفت دستگاه‌های لرزه‌نگاری، امکان ثبت نگاشته‌های متعددی از زلزله‌ها در موقعیت‌های مختلف فراهم گردید. براساس همین پیشرفت‌ها، محققین شاهد اثرات متفاوت زلزله‌ها بر رفتار سازه‌ها بوده‌اند [۳ و ۴]. این مشاهدات به صورت ویژه در زمین‌لرزه‌های پارکفیلد (۱۹۶۶) و سن‌فرناندو (۱۹۷۱) در آمریکا به سرآغازی برای پژوهش در خصوص شناسایی ماهیت ارتعاشات ناشی از حرکات نیرومند زمین در نزدیکی مرکز زمین‌لرزه (زلزله‌های حوزه نزدیک گسل) تبدیل شد [۵]. علاوه بر این، مطالعات صورت گرفته در خصوص خسارات فراوان ناشی از زلزله‌های نورث‌ریچ (۱۹۹۴)، کوبه (۱۹۹۵) و چی‌چی (۱۹۹۹) نشان داد که تفاوت‌های قابل ملاحظه‌ای بین رفتار لردهای سازه‌ها تحت اثر زلزله‌های حوزه نزدیک گسل در مقایسه زلزله‌های حوزه دور وجود دارد [۶].

در زلزله‌های حوزه نزدیک به دلیل فاصله اندک محل وقوع زلزله تا گسل، اثر کاهنده‌گی امواج زلزله ناچیز است. از همین رو این زلزله‌ها دارای محتوای فرکانسی بالایی هستند که منجر به ایجاد پالس‌هایی با پریود زیاد می‌شوند [۷ و ۸]. در این زلزله‌ها، حرکات زمین به شدت به مکانیزم گسل‌شن، جهت انتشار شکست نسبت به ساختگاه و نیز جهت لغزش گسل وابسته هستند [۸]. مطالعات متعدد گذشته به‌وضوح بیانگر این مطلب بوده‌اند که رکوردهای زلزله‌های نزدیک را می‌توان به دو بخش با ضربه و بدون ضربه تقسیم کرد [۶-۳]. اثر ضربه در این رکوردها عموماً به صورت یک شوک پالس‌مانند شتاب، سرعت و جابجایی رخ می‌دهد که می‌توان آنها را بر حسب تغییرات بزرگ در تاریخچه‌های شتاب، سرعت و جابجایی دارای محتوای فرکانسی بالا مشاهده نمود [۹]. این ویژگی متمایز پالس‌مانند با پریود بلند به خصوص در رکوردهای سرعت و جابجایی در امتداد عمود بر گسل زلزله‌های حوزه نزدیک قابل مشاهده است و اثرات آنها منجر به افزایش بخش پریود بلند طیف پاسخ شتاب می‌گردد. همین موضوع مکانیزم اثر این نوع زلزله‌ها بر رفتار سازه‌ها را بسیار متفاوت از زلزله‌های حوزه دور می‌نماید [۱-۴]. بیشتر این اختلافات نتیجه وجود دو خصوصیت متمایز یعنی جهت‌پذیری پیش‌رونده^۱ و حرکت پرتاپی^۲ در زلزله‌های حوزه نزدیک می‌باشد [۹]. اثرات این خصوصیات زلزله‌های حوزه نزدیک گسل‌های فعلی بر عملکرد لردهای سازه‌ها، لزوم در نظر گرفتن چنین ویژگی‌هایی را در تحلیل‌های دینامیکی بسیار حائز اهمیت نموده است [۱۰ و ۱۱].

ارزیابی اثرات ناشی از زلزله‌های حوزه نزدیک گسل بر روی سازه‌ها موضوع نسبتاً جدیدی است که در دو دهه اخیر نظرات بسیاری از محققین را به خود جلب نموده است [۱۱-۱۴]. به طور مثال، اندرسون و برترو (۱۹۸۷) [۱۲] با بررسی رفتار یک سازه فولادی تحت اثر زلزله حوزه نزدیک امپریال‌والی (۱۹۷۹) دارای حرکات پالس‌گونه به این نتیجه رسیدند که افزایش نسبت پریود پالس حرکت زمین به پریود طبیعی سازه و همچنین افزایش نسبت شتاب زمین به مقاومت تسلیم سازه، سبب افزایش پاسخ غیرخطی و خسارات وارد بر سازه می‌گردد. استیووارت و همکاران^۳ (۲۰۰۲) [۱۳] با بررسی اثرات زلزله‌های حوزه نزدیک گسل بر رفتار ستون‌های طراحی شده بر مبنای آئین‌نامه‌ها دریافتند که به دلیل اثرات جهت‌پذیری پیش‌رونده در شتابنگاشت این زلزله‌ها، تغییرشکل‌های ماندگار بر روی ستون‌ها باقی می‌مانند. چامپیون و لیل^۴ (۲۰۱۲) [۱۷] با بررسی تأثیر جهت‌پذیری زلزله‌های حوزه نزدیک بر احتمالی خطر فروپاشی لردهای قاب‌های بتون آرمه دریافتند که ظرفیت فروپاشی پیش‌بینی شده به شدت تحت تأثیر تغییرات دوره پالس و شکل‌پذیری قاب‌هاست. همچنین ارزیابی دقیق خطر فروپاشی لردهای توسط این محققین نشان داد که احتمال پیش‌بینی شده ریزش در ۵۰ سال برای ساختمان‌های بتون آرمه در یک سایت نزدیک به گسل تقریباً ۶٪ است که به طور قابل توجهی بالاتر از احتمال ۱٪ در نظر گرفته شده برای سایتها دور از گسل می‌باشد. آکار و همکاران^۵ (۲۰۱۸) [۱۴] با ارزیابی اثرگذاری پارامترهای اصلی لردهای وابسته به محل گسل‌های امتدادلغز بر تقاضاهای حرکت زمین ناشی

^۱ Forward directivity^۲ Fling step^۳ Stewart et al.^۴ Champion and Liel^۵ Akkar et al.

از جهت‌پذیری پیش‌رونده زلزله‌های حوزه نزدیک، توصیه‌هایی را برای گنجاندن احتمالی اثرات جهت‌پذیری برای تخمین تقویت طیف‌های رکورد زلزله در استانداردهای طراحی لرزه‌ای پیشنهاد نمودند. چن و همکاران⁶ (۲۰۲۰) [۳] با آنالیز پاسخ لرزه‌ای یک سازه برج تحت اثر حرکات زمین نزدیک به گسل دارای خصوصیات جهت‌پذیری پیش‌رونده و حرکات پالس‌مانند دریافتند که این خصوصیات منجر به ایجاد جابجایی‌های گره‌ای بزرگ در سازه برج می‌شوند و انحنای‌های زیادی در قسمت پایین سازه ایجاد می‌نمایند. این محققین همچنین با مطالعه پاسخ‌های دینامیکی برج برمبنای شتاب اوج زمین (PGA) و شتاب اوج موثر (IEPA) به عنوان شاخص‌های مقیاس‌بندی رکوردها، به این نتیجه رسیدند که پراکنده‌گی پاسخ‌های لرزه‌ای سازه برج با مقیاس‌بندی دامنه، کوچکتر از موارد بدون مقیاس‌بندی است و اندازه‌گیری شدت IEPA برای مقیاس‌بندی رکوردهای تکانشی نزدیک به گسل مناسب‌تر از PGA است. رویز-گارسیا و راموس-کروز⁷ (۲۰۲۰) [۱۵] با ارزیابی تقاضای جابجایی‌های ماندگار در ساختمان‌های فولادی مجهز به سیستم قاب خمشی تحت اثر خصوصیات جهت‌پذیری پیش‌رونده و حرکات پالس‌مانند زمین‌لرزه‌های حوزه نزدیک گسل، دریافتند که سازه‌ها تحت رکوردهای زلزله نزدیک و دور از گسل، دارای رفتار متفاوتی می‌باشند؛ به این معنی که دامنه جابجایی‌های ماندگار در طبقات خاصی از سازه با توجه به دامنه کمتر حاصل از حرکات کوچکتر زمین، کاهش می‌یابد. علاوه بر این، این محققین دریافتند که هر دو مدل پالس سرعت منجر به دامنه متفاوتی از تقاضاهای جابجایی‌های ماندگار محسوبه شده از حرکات زلزله‌های ثبت‌شده می‌گردند. بهاگات و همکاران⁸ (۲۰۲۱) [۸] با بررسی پاسخ لرزه‌ای یک ساختمان ۱۰ طبقه جداسازی شده از پایه تحت اثر زلزله حوزه نزدیک گسل دریافتند که به‌دلیل خصوصیت جهت‌پذیری پیش‌رونده در این نوع زلزله‌ها، نسبت دریفت و شتاب‌های کف طبقات سازه تحت اثر پالس‌های غالب، حذف شده است. همچنین این محققین دریافتند که پاسخ‌های جداساز و زیرسازه برای پالس‌هایی با ویژگی‌های حرکت پرتابی، در مقایسه با پالس‌هایی با ویژگی‌های جهت‌پذیری پیش‌رونده بزرگ‌تر هستند. محمود و همکاران^۹ (۲۰۲۱) [۱۶] با بررسی تأثیر سیستم کف بر رفتار لرزه‌ای ساختمان‌های بتون مسلح تحت اثر جهت‌پذیری پیش‌رونده زلزله‌های حوزه نزدیک گسل به این نتیجه رسیدند که سیستم کف به‌طور قابل توجهی بر پاسخ القایی طبقات و همچنین سطح آسیب ساختمان‌ها اثرگذار است. همچنین آنها دریافتند که صرف‌نظر از نوع طبقه، تقاضای پاسخ و مقادیر شاخص آسیب برای حرکت‌های پالس‌مانند با جهت‌پذیری پیش‌رونده تشدید می‌شوند. سaha و همکاران^{۱۰} (۲۰۲۲) [۱۰] با ارزیابی رفتار لرزه‌ای قاب‌های فولادی تحت اثر زلزله‌های حوزه نزدیک گسل در فواصل مختلف گسیختگی، پاسخ تغییرمکان‌های ماندگار بین طبقات، شتاب اوج کف و رفتار هیسترتیک قاب‌ها را برای هر یک از سناریوهای مختلف جهت‌پذیری پیش‌رونده ناشی از این زلزله‌ها تعیین نمودند.

اگرچه اثرات نادیده گرفتن خصوصیت حرکات پرتابی زلزله‌های حوزه نزدیک بر رفتار سازه‌ها در طول بسیاری از زلزله‌ها به خوبی شناخته شده و مطالعات زیادی در این خصوص به انجام رسیده، با این حال اثر خصوصیت جهت‌پذیری پیش‌رونده این نوع زلزله‌ها در تحقیقات محدودی مورد بررسی قرار گرفته است. بر همین اساس در تحقیق حاضر در تلاش است تا اثر این خصوصیت در زلزله‌های حوزه نزدیک گسل را بر پاسخ رفتار سازه‌های بتونی مورد بررسی قرار دهد. به همین منظور با مدلسازی دو سازه بتونی ۱۰ طبقه و ۱۵ طبقه دارای سیستم قاب خمشی ویژه و انجام تحلیل تاریخچه زمانی تحت اثر رکوردهای زلزله حوزه نزدیک، اثر خصوصیت جهت‌پذیری پیش‌رونده بر رفتار این سازه‌ها مورد ارزیابی قرار می‌گیرد.

۲- ضرورت انجام تحقیق

از آنجایی که خصوصیات زلزله هم به لحاظ دامنه و هم محتوای فرکانسی برای ساختگاه‌ها در فواصل نزدیک به چشم‌هه زلزله و دور از آن متفاوت است [۵-۲]، لذا لزوم مطالعه و مقایسه چنین اثراتی بر روی رفتار لرزه‌ای سازه‌ها ضروری است. در سال‌های اخیر سازه‌های بیشماری در محدوده نزدیک گسل ساخته شده‌اند که اثرات حوزه نزدیک در طراحی آنها نادیده گرفته شده است. طبق تحقیقات گذشته در

⁶ Chen et al.

⁷ Ruiz-García and Ramos-Cruz

⁸ Bhagat et al.

⁹ Mahmoud et al.

¹⁰ Saha et al.

این زمینه مشخص شده که تاثیرات زلزله‌های حوزه نزدیک از تاثیرات ارائه شده در آئین‌نامه‌ها بیشتر است [۱۷]. زلزله‌های حوزه نزدیک به دلیل داشتن حرکات پالس مانند با سرعت بالا، نیروی زیادی را در یک مدت زمان محدود به سازه وارد می‌کنند. در زلزله‌های حوزه نزدیک که اوج پالس سرعت موجود در آنها از شدت بیشتری برخوردار است و یا مدت زمان پالس در آنها بزرگ‌تر است، پاسخ سازه افزایش می‌یابد، لذا سازه‌هایی که به منبع لرزه‌زا نزدیک‌تر هستند، باید شکل پذیری بیشتری داشته باشند تا بتوانند در مقابل زلزله مقاومت بیشتری از خود نشان دهند [۱۸]. یافته‌های مطالعات محققین مختلف در گذشته به وضوح نشان داده است که علل اصلی مکانیزم رفتاری متفاوت زلزله‌های حوزه نزدیک در مقایسه با زلزله‌های حوزه دور ناشی از دو خصوصیت جهت‌پذیری پیش‌رونده و حرکت پرتایی در نگاشتهای حوزه نزدیک می‌باشد [۱۹]. با وجود آگاهی از این تفاوت‌ها، به علت کمبود اطلاعات تا پیش از دو دهه اخیر، مطالعات اندکی بر روی خصوصیات زلزله‌های حوزه نزدیک و تاثیر آنها بر رفتار سازه‌ها انجام گرفته است. اما با وقوع زلزله‌های نورتیج آمریکا [۱۹۹۴)، کوبه ژاپن (۱۹۹۵)، ازمیت ترکیه (۱۹۹۹) و چی چی تایوان (۱۹۹۹)، اطلاعات بسیار ارزشمندی در مورد خصوصیات زلزله‌های حوزه نزدیک حاصل شد که راه را برای مطالعه بیشتر جهت ارزیابی اثرات این زلزله‌ها بر رفتار سازه‌ها هموارتر نمود [۲۰].

اگرچه بیشتر آئین‌نامه‌های طراحی لرزه‌ای سازه روش‌هایی را برای مقیاس‌سازی رکورد زلزله‌ها پیشنهاد کرده‌اند، با این حال یکی از اساسی‌ترین چالش‌ها جهت استفاده از رکوردهای ثبت شده برای زلزله‌های حوزه نزدیک، نحوه فیلتر کردن و مقیاس‌سازی آنهاست [۲۱]. به طور معمول، رکوردهای خام ثبت شده برای زلزله‌ها به‌وسیله دستگاه‌های لرزه‌نگار اغلب به‌دلیل وجود خطاهای محاسباتی و دستگاهی با استفاده از روش‌های پردازش استاندارد همچون روش اصلاح پایه^{۱۱} و فیلتر باند بالا^{۱۲} اصلاح شده و خطاهای موجود در آنها حذف می‌گردند [۱]. با توجه به اینکه رکوردهای ثبت شده برای زلزله‌های حوزه نزدیک به شدت به مشخصات منبع زلزله وابسته هستند، عمدتاً اثرات جهت‌پذیری پیش‌رونده و حرکت پرتایی دارای پالس‌های با سرعت زیاد در رکوردهای سرعت و تغییرمکان آنها قابل مشاهده است. حال آنکه پردازش استاندارد و اصلاح این رکوردها با روش‌های مذکور در برخی موارد منجر به حذف این اثرات (پالس‌های سرعت و تغییرمکان با دامنه بالا) از رکورد زلزله گردیده و رکورد مقیاس شده قادر نیست خصوصیات منبع لرزه‌زا را به‌طور دقیق نشان دهد. به همین دلیل در سال‌های گذشته مطالعات متعددی درخصوص اثرات تغییرمکان ماندگار بر روی سازه‌ها برخلاف جهت‌پذیری پیش‌رونده انجام نشده است [۱، ۸-۱۴]. بر مبنای این مطالعات معمولاً توصیه می‌شود که از رکوردهای مقیاس‌نشده زلزله‌های حوزه نزدیک دارای خصوصیت حرکت پرتایی برای انجام آنالیزها استفاده شود [۹، ۲۶ و ۳۶]، اما این مسئله در مورد خصوصیت جهت‌پذیری پیش‌رونده تاکنون به‌طور جدی مورد بررسی قرار نگرفته است و همین موضوع ضرورت انجام تحقیق حاضر درخصوص ارزیابی اثر این خصوصیت رکورد زلزله‌های حوزه نزدیک بر رفتار سازه‌ها را به‌وضوح نشان می‌دهد.

۳- خصوصیات زلزله‌های حوزه نزدیک گسل

در اوایل دهه ۱۹۷۰، بولت [۲۱] پالس‌های سرعت منسجمی را در اثر وقوع برخی زمین‌لرزه‌ها شناسایی کرد که عموماً دارای یک یا چند پالس مجزا در تاریخچه زمانی سرعت بودند. در ادامه این تحقیقات، هادسون و هاوسرن^{۱۳} [۲۲]، برترو و همکاران^{۱۴} [۲۳] با مطالعه بیشتر بر روی این زمین‌لرزه‌ها، مفهوم زلزله‌ای حوزه نزدیک گسل را گسترش دادند. مطالعات این محققین نشان داد که حرکات لرزه‌ای زمین که در مناطق حوزه نزدیک و در جهت گسیختگی گسل ثبت می‌شوند با حرکات مشاهده شده در مناطق دور از گسل بسیار متفاوت هستند [۲۴]. با شناسایی برخی از خصوصیات زلزله‌های حوزه نزدیک، هال و همکاران (۱۹۹۵) [۲۵]، هیتون و همکاران (۱۹۹۵) [۲۶] و ایوان (۱۹۹۷) [۲۷] با مطالعه بر روی این نوع زلزله‌ها دریافتند که زلزله‌های حوزه نزدیک اگرچه ممکن است بزرگ‌ای کوچک (از نظر ریشه) و یا دامنه کوچکی داشته باشند، اما به‌دلیل دارا بودن پالس‌های بحرانی انرژی، از پتانسیل تخریب بالایی برخوردارند [۲۲] و اثرات متفاوتی را نسبت به زلزله‌های حوزه دور بر رفتار سازه‌ها ایجاد می‌نمایند [۲۸ و ۲۹].

¹¹ Baseline Correction

¹² High-Pass Filter

¹³ Hudson and Housner

¹⁴ Bertero et al.

محدوده نزدیک گسل معمولاً در فاصله‌ای بین ۱۵ تا ۶۰ کیلومتری از گسل فعال فرض شده [۳۰] و فاصله کمتر از ۲۰ کیلومتر از محل گسیختگی و کانون زلزله، برای ثبت نگاشت‌های حوزه نزدیک در نظر گرفته می‌شود [۲]. در این محدوده، رکوردهای حوزه نزدیک به شدت به مکانیزم شکست چشمی لرزه‌زا و جهت انتشار گسیختگی گسل نسبت به ساختگاه و جهت لغزش گسل وابسته هستند [۸، ۱۰-۱۲]. تاریخچه زمانی این نوع رکوردها دارای ویژگی‌های منحصر به فردی همچون ارتعاشات پالس‌مانند دارای پالس‌هایی با دامنه و زمان تناوب بلند، نسبت‌های PGD/PGA زیاد، شکل طیف پاسخ غیرعادی و وجود قسمت عمدۀ انرژی در یک یا چند پالس می‌باشند [۶]. این ویژگی‌ها باعث ایجاد دو اثر به نام‌های جهت‌پذیری شکست^{۱۵} (پالس نوع A) و حرکت پرتاپی^{۱۶} (پالس نوع B) در زلزله‌های حوزه نزدیک می‌گردند [۱۱-۱۳].

جهت‌پذیری شکست شامل دو مود جهت‌پذیری پیش‌رونده^{۱۷} (رو به جلو) و جهت‌پذیری پس‌رونده^{۱۸} (رو به عقب) می‌باشد که مفهوم آن با در نظر گرفتن جهت انتشار شکست گسل مطابق شکل ۱ قابل توصیف است. زمانی که یک گسل شروع به شکسته شدن می‌کند، شکست از نقطه‌ای بر روی امتداد گسل ایجاد شده و بسته به محل آغاز گسیختگی به طرف ابتداء و انتهای گسل و یا هر دو طرف آن گسترش می‌یابد [۳۱ و ۳۲]. مطابق شکل ۱ ملاحظه می‌گردد که اگر انتشار شکست گسل به سمت ساختگاه و جهت لغزش گسل نیز در جهت ساختگاه باشد (ساختگاه A)، جهت‌پذیری پیش‌رونده رخ می‌دهد؛ حال چنانچه ساختگاه در نزدیکی مرکز زمین‌لرزه باشد و انتشار شکست به سمت دور شدن از ساختگاه باشد (ساختگاه B)، جهت‌پذیری پس‌رونده رخ می‌دهد [۳۳]. انرژی زلزله در طول مدت ارتعاش در ساختگاه A در ابتدای ارتعاش به صورت یک پالس ضربه‌ای (شوك) با دامنه بزرگ و در ساختگاه B به صورت پراکنده آزاد می‌شود [۳۲]. نگاشت زمین‌لرزه‌ها در حالت جهت‌پذیری پیش‌رونده دارای مدت زمان بیشتر و پالس‌های متعدد با دوره تناوب کوتاه و دامنه کوچک بوده، اما در حالت جهت‌پذیری پیش‌رونده، معمولاً دارای مدت زمان کوتاه، با یک پالس ویژه با دامنه زیاد و دوره تناوب متوسط تا بلند هستند. در این حالت به دلیل نزدیک بودن سرعت انتشار شکست به سرعت موج برشی در سنگ بستر منبع زلزله، پالس‌های غالب در تاریخچه زمانی سرعت ایجاد می‌شوند [۳۴]. در زلزله‌های حوزه نزدیک گسل ابتداء موج برشی و سپس شکست به سمت ساختگاه انتشار می‌یابد و این مسئله باعث می‌شود که یک موج پالس‌مانند افقی با دامنه زیاد در ابتدای نگاشت‌ها ناشی از جهت‌پذیری پیش‌رونده در جهت عمود بر امتداد گسل دیده شود [۵ و ۳۲]. در سمت مقابل خصوصیت حرکت پرتاپی در رکوردهای زلزله‌های حوزه نزدیک با پالس‌های سرعت با دامنه زیاد و یک گام یکنواخت در تاریخچه زمانی تغییرمکان قابل مشاهده است [۲۸]. این حرکت باعث افزایش تقاضای نیاز سازه‌های چندطبقه جهت اتلاف انرژی ورودی ناشی از زلزله به آنها گردیده و درنتیجه خطر شکست ترد برای سیستم‌های سازه‌ای ضعیف را به طور قابل توجهی افزایش می‌دهد [۵].

به طور خلاصه می‌توان گفت که اثرات جهت‌پذیری پیش‌رونده (پالس نوع A) زمانی ایجاد می‌شود که گسیختگی گسل با سرعتی تقریباً برابر با سرعت موج برشی به سمت ساختگاه انتشار یابد، در حالی که اثرات حرکت پرتاپی (پالس نوع B) در رکورد جابجایی زلزله‌های حوزه نزدیک گسل زمانی ایجاد می‌شود که تغییرمکان‌های دائمی (جابجایی ماندگار) زمین^{۱۹} در اثر تغییرشکل‌های تکتونیکی صفحات گسل و همراه شدن آن با مکانیزم گسل‌ش در طول فعالیت لرزه‌ای وجود داشته باشد [۲۸ و ۳۵].

اثرات ناشی از خصوصیات جهت‌پذیری پیش‌رونده و حرکت پرتاپی حرکات زمین در زلزله‌های حوزه نزدیک از روی تاریخچه‌های زمانی سرعت و جابجایی این زلزله‌ها به راحتی قابل شناسایی است [۸]. مطالعات محققین در سال‌های اخیر نشان داده است که بین خصوصیات جهت‌پذیری پیش‌رونده و حرکت پرتاپی در رکوردهای حرکت زمین در زلزله‌های حوزه نزدیک تفاوت‌هایی وجود دارد [۳۶ و ۳۷]. تاریخچه زمانی سرعت در اثر خصوصیت حرکت پرتاپی شامل یک پالس سرعت غالب یک‌طرفه است که منجر به یک مرحله یکنواخت در تاریخچه زمانی جابجایی می‌شود. این در حالی است که تاریخچه زمانی سرعت ناشی از خصوصیت جهت‌پذیری پیش‌رونده حاوی یک

¹⁵ Rupture Directivity

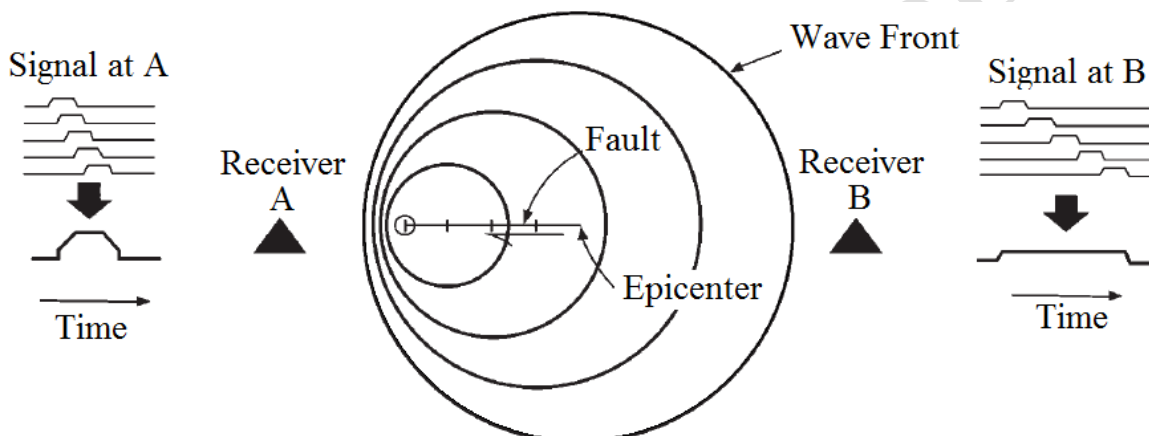
¹⁶ Fling step

¹⁷ Forward Directivity

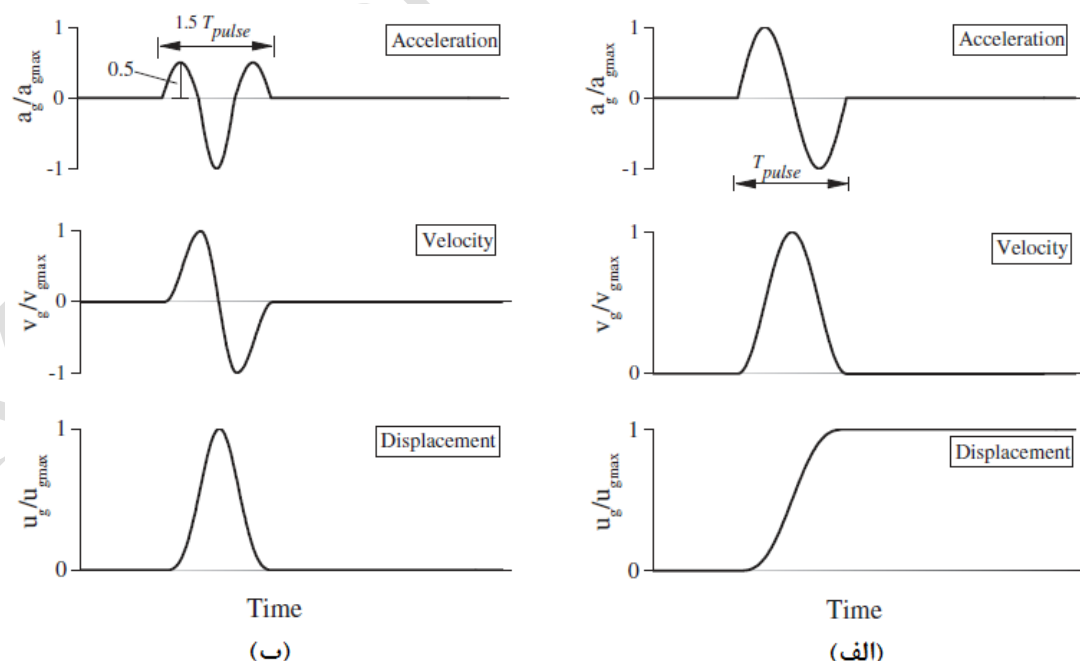
¹⁸ Backward Directivity

¹⁹ Permanent Displacement of the Ground

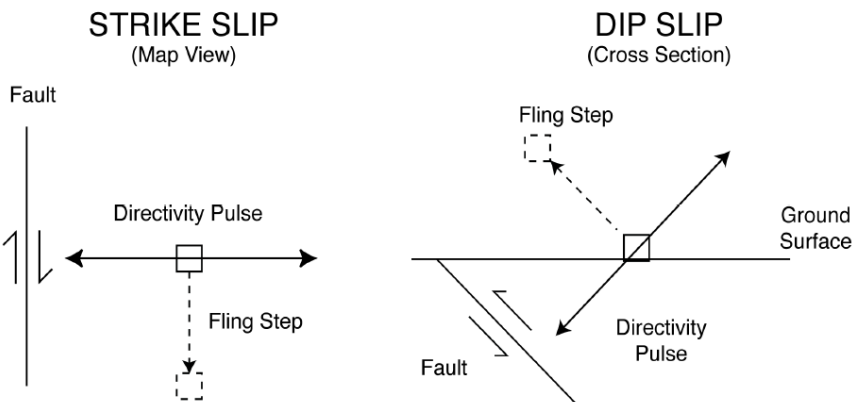
پالس سرعت غالب دوطرفه است. بنابراین ساختمان‌هایی که در معرض چنین حرکات زمینی قرار می‌گیرند، باید انرژی را در چند سیکل تلف کنند، زیرا در مدت زمان نسبتاً کوتاهی در معرض مقادیر زیادی انرژی لرزه‌ای قرار می‌گیرند [4] و [33]. شکل ۲ مدل ریاضی نرمال‌ایزشده مربوط به خصوصیات جهت‌پذیری پیش‌رونده و همچنین تغییرمکان ماندگار زمین ناشی از حرکت پرتابی را در اثر زلزله‌های حوزه نزدیک نشان می‌دهد. همچنین در شکل ۳، خصوصیات جهت‌پذیری پیش‌رونده و حرکت پرتابی برای زلزله‌ها در نزدیکی گسل‌های شیب‌لغز و امتداد‌لغز به صورت شماتیک نشان داده است. مطابق این شکل مشاهده می‌شود که در زلزله با مکانیزم شیب‌لغز مانند زلزله چی‌چی تایوان (۱۹۹۹)، پالس جهت‌پذیری شکست در جهتی عمود بر شیب گسل رخ داده و پالس حرکت پرتابی (جابجایی ماندگار زمین) در جهتی موازی با شیب گسل جهت‌گیری شده و دارای مؤلفه‌هایی هم در جهت قائم و هم در جهات افقی عمود بر امتداد گسل رخ داده و پالس جابجایی ماندگار زمین موازی با امتداد گسل جهت‌گیری می‌شود [۳۸]. اثرات جهت‌پذیری پیش‌رونده و جابجایی ماندگار زمین (حرکت پرتابی) ناشی از زلزله‌های حوزه نزدیک لندز (۱۹۹۲) و لوماپریتا (۱۹۹۸۹) در تاریخچه‌های زمانی شتاب، سرعت و جابجایی آنها به وضوح در شکل ۴ نشان داده شده است.



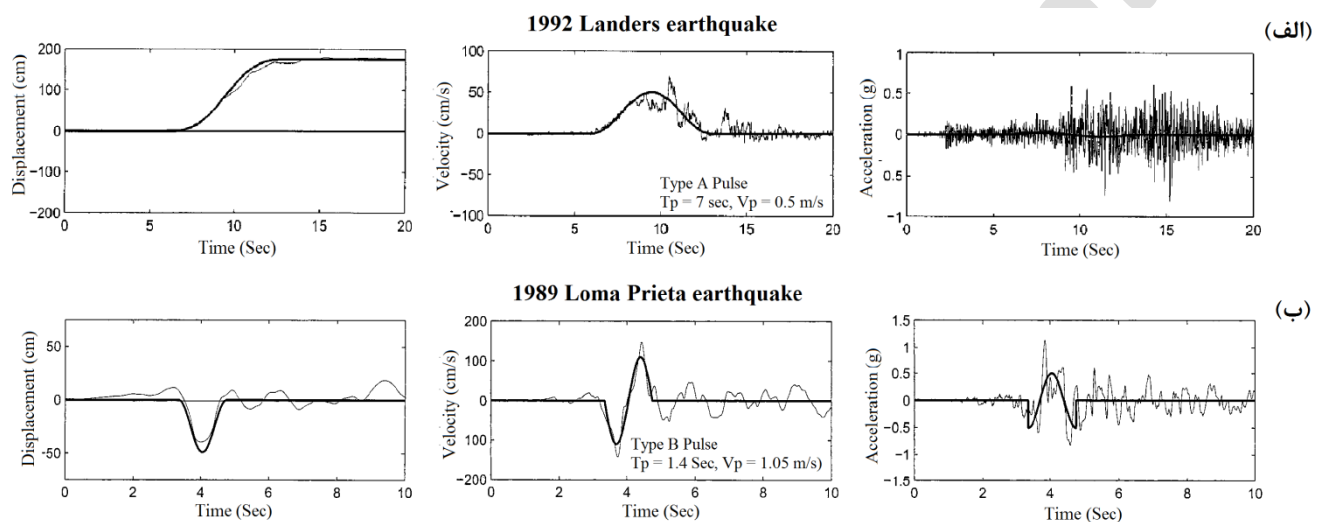
شکل ۱: اثرات ناشی از جهت‌پذیری‌های پیش‌رونده و پس‌رونده در حین شکست گسل برای ساختگاه‌های A و B [32]



شکل ۲: مدل ریاضی نرمال‌ایزشده مربوط به خصوصیات (الف) جهت‌پذیری پیش‌رونده (پالس نوع A)، (ب) حرکت پرتابی (پالس نوع A) [33]



شکل ۳: جهت پذیری شماتیک پالس های نگاشت زلزله ها و جابجایی های ماندگار زمین برای گسل های شب لغز و امتداد لغز [4]



شکل ۴: تاریخچه های زمانی شتاب، سرعت و جابجایی ثبت شده برای ویژگی های (الف) جهت پذیری پیش رونده (پالس نوع A) در زلزله لندرز (۱۹۹۲) و (ب) جابجایی ماندگار زمین (حرکت پرتایی) (پالس نوع B) در زلزله لوما پریتا (۱۹۸۹) [24]

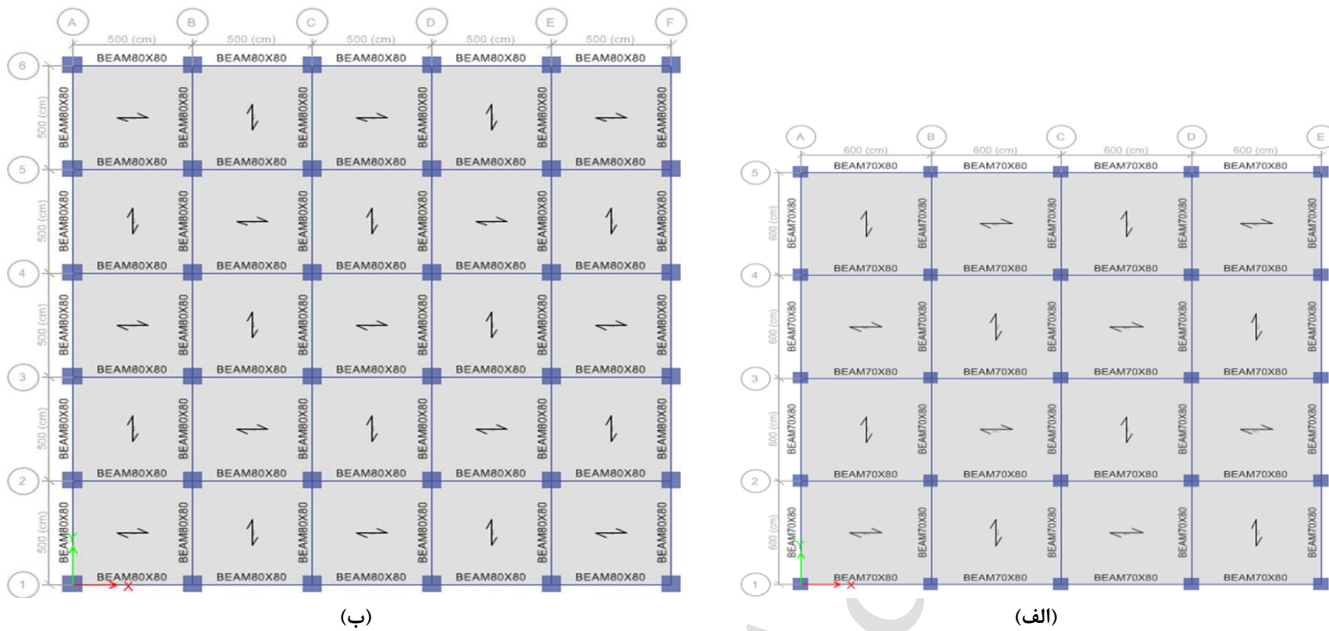
۴- روش تحقیق

۴-۱- طراحی و مدلسازی اولیه سازه ها

در تحقیق حاضر ابتدا با استفاده از نرم افزار ETABS²⁰ اقدام به مدلسازی ساختمان های بتنی ۱۰ طبقه و ۱۵ طبقه شد. سازه های مورد مطالعه از نوع مسکونی در شهر تهران واقع بر خاک نوع II و دارای سیستم باربر قاب خمی ویژه می باشند. تمامی اتصالات تیر به ستون در قاب های خمی از نوع گیردار فرض شده و اتصالات پای سوتون ها به زمین نیز از نوع تکیه گاه های کاملاً گیردار در نظر گرفته شده اند. پلان سازه های ۱۰ طبقه و ۱۵ طبقه مورد مطالعه مطابق شکل ۵-الف و ب در نظر گرفته شد. این پلان ها به گونه ای انتخاب شد که نسبت ارتفاع به عرض سازه های مورد مطالعه به ترتیب کمتر از ۱/۵ برای ساختمان ۱۰ طبقه و بین ۱/۵ تا ۳ برای ساختمان ۱۵ طبقه باشد. بر این اساس، پلان سازه ۱۰ طبقه با ابعاد ۲۴×۲۴ متر و دارای چهار دهانه ۶ متری و همچنین پلان سازه ۱۵ طبقه با ابعاد ۲۵×۲۵ متر و دارای پنج دهانه ۵ متری در نظر گرفته شد. ارتفاع کف زیرین تا روی کف بالایی برای هر طبقه برابر ۳ متر فرض شد. بر همین اساس نسبت ارتفاع به عرض سازه های مورد مطالعه برای سازه ۱۰ طبقه برابر ۱/۲۵ و برای سازه ۱۵ طبقه برابر با ۱/۸ می باشد. جدول ۱

²⁰ <https://www.csiamerica.com/products/etabs>

خصوصیات مصالح مورد استفاده (بتن مصرفی در دالها و فولاد مصرفی در تیر و ستون‌ها) جهت طراحی سازه‌های مورد مطالعه را نشان می‌دهد.



شکل ۵: پلان سازه‌های بتنی مدلسازی شده، (الف) مدل ۱۰ طبقه و (ب) مدل ۱۵ طبقه

جدول ۱: مشخصات مصالح مورد استفاده در مدلسازی سازه‌ها

نوع مصالح	نسبت پواسون	مدول الاستیسیته (Kg/m ²)	مقواومت فشاری (Kg/m ²)	وزن واحد حجم (Kg/m ³)	تنش تسليم فولاد (Kg/m ²)
بتن	0/۲	۲/۲۳×۱۰ ^۹	۲۵۰۰	۲۵۰×۱۰ ^۴	-
فولاد	0/۳	۲/۰۰×۱۰ ^{۱۰}	۷۸۵۰	-	۲۴۰۰×۱۰ ^۴

از آنجایی که سازه در مرحله نخست با بارهای ثقلی درگیر می‌شود و حتی پیش از بهره‌برداری به‌طور مداوم وزن اسکلت خود را تحمل می‌کند، لذا ابتدا ترکیب بارهای ثقلی بر روی سازه اعمال می‌شود. به منظور بارگذاری بر روی سازه‌ها از دستورالعمل‌های نشریه [۳۶] و مبحث ششم مقررات ملی ساختمان ایران (بارهای وارد بر ساختمان) [۴۰] و طراحی مدل‌ها از روش حالت حدی (LRFD) [۳۹] استفاده شد. مطابق با بند ۸-۲-۳ نشریه [۳۶] درخصوص ترکیب بارگذاری ثقلی و جانبی، حد بالا و پایین اثرات بار ثقلی (Q_G) براساس معادلات ۱ و ۲ و برحسب بار مرده مؤثر (Q_D) و بار زنده مؤثر (Q_L) محاسبه می‌شود. سیستم سقف مورد استفاده در سازه‌های مورد مطالعه از نوع تیرچه بلوك بوده و مشخصات بارگذاری بر روی این سازه‌ها در جدول ۲ ارائه شده است.

$$Q_{G1} = 1.1(Q_D + Q_L) \quad (1)$$

$$Q_{G2} = 0.9 Q_D \quad (2)$$

جدول ۲: مشخصات بارگذاری سازه‌های مورد مطالعه

تعداد طبقات	بارگذاری طبقات	بار مرده	کفها	بار مرده سقف	بار معادل تیغه‌بندی و بار زنده	طبقات	بار مرده	کفها	بار مرده سقف	بار معادل تیغه‌بندی و بار زنده	طبقات	بار مرده	کفها	
۱۰		۶۴۰		۱۰۰	۵۴۰		۲۰۰	۴۴۵	۱۵۰	۴۴۵	۲۰۰	۱۵۰	۴۵۵	
۱۵		۶۵۵		۱۰۰	۵۵۵		۲۰۰	۴۵۵	۱۵۰	۴۵۵	۲۰۰	۱۵۰	۴۵۵	

²¹ Load and Resistant Factor Design

لازم به ذکر است که برای طراحی المان‌های سازه‌ای ساختمان‌های مورد مطالعه از آئین نامه ACI-318-99 [۴۱] و دستورالعمل‌های پیشنهاد شده در مبحث نهم مقررات ملی ساختمان ایران [۴۲] استفاده گردید. همچنین برای آنالیز لرزه‌های قاب‌های بتی از استاندارد ۲۸۰۰-ویرایش چهارم [۴۳] بهره گرفته شد. پس از طراحی اولیه سازه‌ها در نرم‌افزار ETABS، مشخصات مقاطع برای طبقات مختلف سازه‌های ۱۰ طبقه و ۱۵ طبقه مورد مطالعه مطابق با جدول ۳ تعیین شد.

جدول ۳: مشخصات مقاطع طراحی شده برای سازه‌های بتی مورد مطالعه

مشخصات سازه				سازه ۱۰ طبقه	سازه ۱۵ طبقه
نوع مقطع	مقاطع ستون	مقاطع تیر	مقاطع ستون	مقاطع تیر	مقاطع ستون
طبقات ۱ تا ۴	Column 70×70-24TOR26	Beam 70×80	Column 95×95-28TOR28	Beam 90×90	Column 70×70-28TOR28
طبقات ۵ تا ۸	Beam 60×70	Column 60×60-20TOR22	Column 80×80-28TOR28	Beam 80×80	Column 70×70-28TOR28
طبقات ۹ و ۱۰	Beam 50×60	Column 50×50-16TOR20	Beam 70×70	Beam 70×70	Column 70×70-28TOR28
طبقات ۱۱ و ۱۲	-	-	-	-	Column 65×65-20TOR28
طبقات ۱۳ تا ۱۵	-	-	-	-	Beam 65×65

۴-۲- تحلیل طیفی (استاتیکی معادل)

در روش تحلیل طیفی یا استاتیکی معادل که یک روش تحلیل غیرخطی ساده شده منطبق بر استاندارد ۲۸۰۰-ویرایش چهارم [۴۳] است، حداقل نیروی برشی پایه یا مجموع نیروهای جانبی زلزله در هر یک از امتدادهای ساختمان محاسبه شده و براساس نیروی برشی در تراز پایه و وزن کل ساختمان، ضریب زلزله تعیین می‌گردد. این ضریب از پارامترهای شتاب مبنای طرح، ضریب بازتاب ساختمان، ضریب اهمیت ساختمان و ضریب رفتار سازه تعیین می‌گردد. با توجه به اینکه سازه‌های بتی مورد مطالعه در این تحقیق در شهر تهران و در خاک نوع II واقع شده‌اند، لذا در منطقه طرح با خطر نسبی خیلی زیاد قرار گرفته و پس از محاسبات لازم منطبق بر تحلیل طیفی استاندارد ۲۸۰۰، پارامترهای مربوط به ضریب زلزله در سازه‌های مورد مطالعه مطابق با جدول ۴ تعیین شد. پس از طی مراحل مذکور و ورود پارامترهای اولیه به نرم‌افزار ETABS، سازه‌های بتی مدل‌سازی شده و تحت اثر تحلیل طیفی قرار گرفت.

جدول ۴: مقادیر پارامترهای مربوط به ضریب زلزله در سازه‌های بتی مورد مطالعه براساس تحلیل طیفی منطبق بر استاندارد ۲۸۰۰-ویرایش چهارم | Error! Bookmark not defined.

سازه	شتاب مبنای طرح (A)	زمان تنابوب اصلی (T)	ضریب بازتاب (B)	ضریب اهمیت (I)	ضریب رفتار (R _u)	ضریب زلزله (C)
۱۰ طبقه	۰/۰۹۱۳	۷/۵	۱	۱/۰۲	۱/۰۶۷	۰/۳۵
۱۵ طبقه	۰/۰۴۵۸	۷/۵	۱	۰/۹	۱/۵۳۷	۰/۳۵

۴-۳- تحلیل استاتیکی غیرخطی (پوش اور)

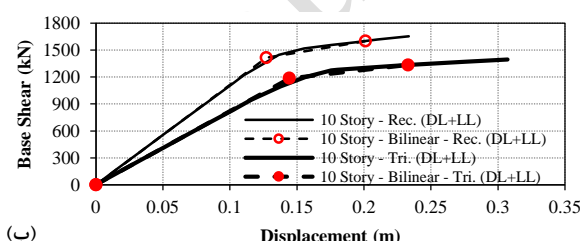
در روش تحلیل استاتیکی غیرخطی، با افزایش گام به گام بار جانبی استاتیکی به صورت غیرخطی، تصویری از رفتار الاستیک سازه تا حد جاری شدن و درنهایت فروریزش آن حاصل می‌گردد. برای انجام تحلیل‌های پوش اور در تحقیق حاضر از هر دو ترکیب بار ثقلی (معادلات ۱ و ۲) استفاده گردید. همچنین مطابق با ضوابط نشریه ۳۶۰-P-Δ [۳۹]، اثرات اثراً-L لحظه شد و از دو نوع توزیع بار جانبی شامل توزیع مثلثی مطابق با شکل مود اول سازه و توزیع مستطیلی متناسب با وزن طبقات سازه بهره گرفته شد. رفتار غیرخطی اعضای سازه‌های مورد مطالعه براساس استاندارد FEMA356 [۴۴] با فرض تشکیل مفاصل پلاستیک در دو انتهای عضو و به فاصله نسبی ۰/۰۵ و طول ۰/۹۵ متر از بر تکیه‌گاه تعریف شد. با این فرض، تعریف مفاصل پلاستیک به ترتیب با در نظر گرفتن اثر لنگر خمی حول محور قوی در ابتداء و انتهای برای تیرها و اندرکنش نیروی محوری و لنگر خمی حول محور قوی برای ستون‌ها صورت گرفت. جدول ۵ وضعیت مفاصل پلاستیک تشکیل شده در سازه‌های مورد مطالعه به‌ازای الگوهای مختلف توزیع بار ثقلی به صورت مثلثی و مستطیلی را نشان می‌دهد. مفاصل پلاستیک در سیستم‌های قاب خمی علاوه بر تیرهای طبقات تحتانی و میانی در ستون‌های طبقه اول نیز تشکیل شدند. با توجه به رفتار پوشی سیستم سازه‌ای قاب خمی و حادث شدن تغییر شکل‌های بزرگ طبقات تحتانی در این سیستم، تشکیل مفاصل پلاستیک و شروع

خرابی از ستون‌های طبقه اول در سازه‌ها قابل پیش‌بینی است. همچنین با توجه به جدول ۶ ملاحظه می‌گردد که نحوه تشکیل مفاصل پلاستیک در الگوی متفاوت توزیع بار تقریباً یکسان بوده و این موضوع مؤید تاثیر قابل چشم‌پوشی الگوهای متفاوت بار ثقلی در شکل‌گیری مفاصل و تعداد آنهاست.

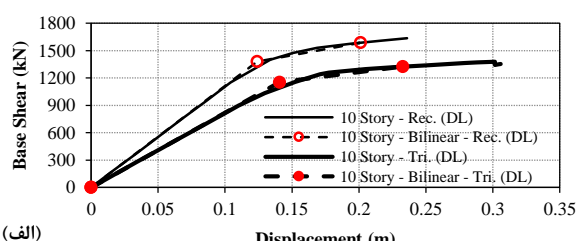
جدول ۵: وضعیت مفاصل پلاستیک تشکیل شده در سازه‌های مورد مطالعه تحت اثر الگوهای بار مختلف

LS to CP	IO to LS	A to IO	>E	D to E	C to D	B to C	A to B	مجموع	مقطع	نحوه توزیع بار	مدل‌های سازه‌ای	طبقه
۷	.	۹۶	.	۴	.	۶	۹۳	۱۰۳	ستون	مستطیلی (D+L)	۱۰	
.	۵	۸۰	۲	۳	.	۴۶	۳۴	۸۵	تیر	مستطیلی (D+L)	۱۰	
.	۴	۹۹	.	۱	.	۹	۹۳	۱۰۳	ستون	مثلثی (D+L)	۱۰	
.	۱۳	۷۲	۴	۵	۱	۵۱	۲۴	۸۵	تیر	مثلثی (D+L)	۱۰	
۴	۵	۹۴	.	۴	.	۶	۹۳	۱۰۳	ستون	مستطیلی (D)	۱۰	
۱	۱۰	۷۴	۵	۱	.	۴۴	۳۵	۸۵	تیر	مستطیلی (D)	۱۰	
.	.	۱۰۳	.	۱	.	۹	۹۳	۱۰۳	ستون	مثلثی (D)	۱۰	
.	۹	۷۶	.	۲	۳	۵۱	۲۴	۸۵	تیر	مثلثی (D)	۱۰	
۱۱	۸	۱۱۹	.	۵	۲	۱۴	۱۱۷	۱۳۸	ستون	مستطیلی (D+L)	۱۵	
۳	۱۰	۸۸	۲	۳	.	۵۸	۳۸	۱۰۱	تیر	مستطیلی (D+L)	۱۵	
۴	۱۰	۱۲۴	.	۰	۴	۲۰	۱۱۴	۱۳۸	ستون	مثلثی (D+L)	۱۵	
.	۱۰	۹۱	۴	۴	۲	۵۱	۴۰	۱۰۱	تیر	مثلثی (D+L)	۱۵	
۶	۱۷	۱۱۵	.	۵	۱	۱۴	۱۱۸	۱۳۸	ستون	مستطیلی (D)	۱۵	
.	۱۱	۹۰	۵	۱	.	۵۵	۴۰	۱۰۱	تیر	مستطیلی (D)	۱۵	
۵	۱۳	۱۲۰	۱	۱	۱	۲۳	۱۱۲	۱۳۸	ستون	مثلثی (D)	۱۵	
.	۱۰	۹۱	۱	۹	۴	۶۱	۲۶	۱۰۱	تیر	مثلثی (D)	۱۵	

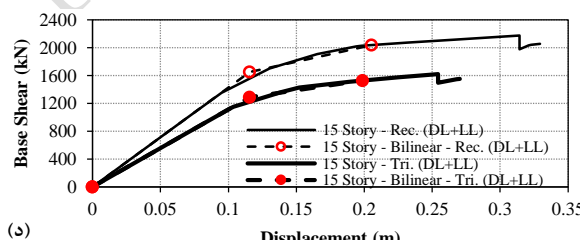
شکل ۶ منحنی‌های ظرفیت استخراج شده متضاد با نقطه تسلیم و نهایی برای سازه‌های مورد مطالعه را براساس الگوی توزیع بار مثلثی مطابق با شکل اول مود اول سازه و توزیع بار مستطیلی متناسب با وزن طبقات و ترکیبات مختلف بار ثقلی نشان می‌دهد. نتیجه کلی قابل استحصال از منحنی‌های ظرفیت ارائه شده در شکل ۶ برای سازه‌های مورد مطالعه حاکی از افزایش ظرفیت نهایی با افزایش تعداد طبقات سازه قاب خمسی است. نتایج ارائه شده در جدول ۶ مقادیر عددی منحنی‌های دوخطی نیز این ادعا را تصدیق می‌نماید. نکته قابل توجه در مقایسه منحنی‌های دوخطی مدل‌های مورد مطالعه انطباق نقاط نهایی منحنی دوخطی بر منحنی ظرفیت در مدل‌های سازه‌ای می‌باشد. همچنین بررسی مقادیر متضاد با نقطه تسلیم و نهایی در جدول ۶ نشان می‌دهد که ظرفیت نهایی باربری سازه در الگوی توزیع بار مثلثی بدون استثنای در کلیه مدل‌های عددی مورد مطالعه نسبت به الگوی نظری توزیع بار مستطیلی به میزان قابل ملاحظه‌ای کمتر می‌باشد. لذا در این مطالعه ترکیب بار مثلثی در تعیین مشخصات رفتاری سازه‌ها دارای اهمیت بیشتری است.



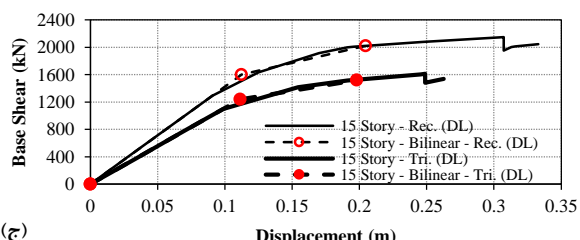
(ب)



(الف)



(د)



(ج)

شکل ۶: منحنی ظرفیت سازه‌های مورد مطالعه در معرض الگوهای مختلف توزیع بار و منحنی‌های دوخطی متناظر، (الف و ب) سازه ۱۰ طبقه، (ج و د) سازه ۱۵ طبقه

جدول ۶: مقادیر عددی برش پایه و جابجایی متناظر نقاط تسیم و نهایی منحنی دوخطی سازه‌های مورد مطالعه تحت اثر الگوهای مختلف توزیع بار

توزيع بار متنالی				مدل‌های سازه‌ای			
Q_{G2}	Q_{GI}	Q_{G2}	Q_{GI}	برش پایه (m)	جابجایی (m)	برش پایه (m)	جابجایی (m)
(kN)	(kN)	(kN)	(kN)	برش پایه (m)	جابجایی (m)	برش پایه (m)	جابجایی (m)
·	·	·	·	·	·	·	·
1185/49	0/144	1152/85	0/141	1416/12	0/127	1377/89	0/124
1334/30	0/223	1322/70	0/223	1602/35	0/201	1585/37	0/201
·	·	·	·	·	·	·	·
1288/20	0/116	1240/23	0/111	1651/09	0/116	1602/44	0/112
1528/44	0/199	1520/23	0/198	2039/49	0/205	2020/96	0/205

۴-۴- تحلیل تاریخچه زمانی غیرخطی

در تحقیق حاضر پس از مدلسازی و انجام تحلیل‌های طیفی و پوش اور بر روی سازه‌های مورد مطالعه در نرمافزار ETABS، برای ارزیابی اثر جهت‌پذیری پیش‌روندۀ زلزله‌های حوزه نزدیک بر پاسخ سازه‌ها از تحلیل تاریخچه زمانی منطبق بر استاندارد ۲۸۰۰- ویرایش چهارم [43] در نرمافزار SeismoStruct²² استفاده شد. در تحلیل تاریخچه زمانی، با اثر دادن تغییرات شتاب زمین به صورت تابعی از زمان به‌طور پیوسته و معمولاً در گام‌های زمانی برابر ۰/۰۱ ثانیه، نیروهای دینامیکی در تراز پایه بر روی سازه اعمال می‌شوند و پاسخ سازه در هر گام محاسبه می‌شود. به‌طور کلی این روش در بین روش‌های مختلف تحلیل سازه‌ها کاملاً منحصر به‌فرد است، چراکه به‌طور واقعی بیانگر میزان تقاضای اجزای بارگذاری شده سازه در محدوده غیرالاستیک می‌باشد. این روش علیرغم مزایای عمدۀ در مقابل سایر روش‌ها، روشی به نسبت زمان بر و درنتیجه غیراقتصادی برای سازه‌های متداول می‌باشد. در تحلیل‌های تاریخچه زمانی انجام شده در تحقیق حاضر نسبت میرایی ۵٪ منظور می‌گردد و شتاب زمین براساس شتابنگاشت‌هایی منطبق بر شرایط یادشده در بند ۳-۵-۲-۳ استاندارد ۲۸۰۰- ویرایش چهارم [43] تهیه می‌شوند.

۴-۵- آماده‌سازی رکوردهای زلزله

آنالیزهای تاریخچه زمانی به شدت به ویژگی‌های شتابنگاشت‌های مورد استفاده وابسته هستند و تغییرات جزئی در انتخاب این شتابنگاشت‌ها منجر به اختلاف زیادی در پاسخ سازه‌ها می‌گردد. شتابنگاشت‌های مورد استفاده در این آنالیزها با ایستی به‌گونه‌ای انتخاب شوند که دارای ویژگی‌های (بزرگاً، فاصله از گسل فعال و شرایط خاک محل) مشابه با شرایط زلزله طرح در محل باشند. همچنین شتابنگاشت‌های جمع‌آوری شده می‌باشند از الزامات بند ۵-۲-۳-۲-پ از استاندارد ۲۸۰۰- ویرایش چهارم [43] مبنی بر داشتن مدت زمان حرکت شدید زمین حداقل برابر ۱۰ ثانیه و یا سه برابر زمان تناوب اصلی سازه (هر کدام که بیشتر است) را برآورده نمایند. با توجه به اینکه هدف اصلی مطالعه حاضر، ارزیابی اثر جهت‌پذیری پیش‌روندۀ زلزله‌های حوزه نزدیک بر رفتار سازه‌های بتی است، لذا رکوردهای مورد بحث با در نظر گرفتن زلزله حوزه نزدیک چی‌چی (تایوان، ۱۹۹۹) با بزرگای ۷/۶ به عنوان زلزله مرجع انتخاب شدند [۴۵]. لازم به ذکر است که نگاشت زلزله چی‌چی مجموعاً در ۶۵ ایستگاه مختلف ثبت شده است [45] که در تحقیق حاضر با لحاظ کردن الزامات آئین‌نامه‌ای مذکور، رکوردهای ثبت شده در ۱۲ ایستگاه مختلف مطابق با شکل ۷ و جدول ۷ دارای خاصیت جهت‌پذیری پیش‌روندۀ برای انجام آنالیزها در نظر گرفته شد. تمامی رکوردهای حرکت زمین برای زلزله مذکور از پایگاه داده PEER Strong Motion دانشگاه برکلی [۴۶] استخراج شد. در ادامه به منظور بررسی اثر جهت‌پذیری پیش‌روندۀ رکوردهای مختلف زلزله چی‌چی بر رفتار سازه، از روش پیشنهادی باکر^{۲۳} [۴۷] با ارائه برنامه‌ای در نرمافزار متلب^{۲۴} برای پردازش و جداسازی (فیلتر کردن) این ویژگی از رکوردهای زلزله استفاده شد. با توجه به اینکه خروجی

²² <https://www.thestructuralengineer.info/software/145-SeismoStruct>

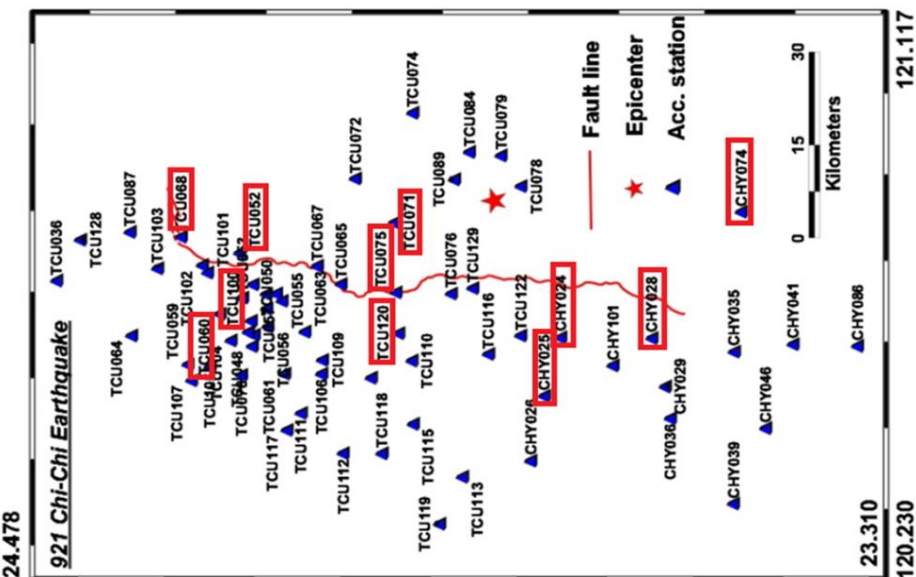
^{۲۳} Baker

^{۲۴} www.stanford.edu/bakerjw/pulse-classification/

روش پیشنهادی [47] به صورت تاریخچه‌های زمانی سرعت با اثر جهت‌پذیری پیش‌رونده و بدون اثر آن برای نگاشت‌های ثبت شده در ایستگاه‌های مختلف می‌باشد، لذا با کمک گرفتن از نرم‌افزار EXCEL و مشتق‌گیری سرعت‌ها و تبدیل آنها به شتاب، اقدام به ترسیم طیف‌های پاسخ با میرایی ۵٪ در نرم‌افزار^{۲۵} SeismoSignal شد. پس از ترسیم طیف‌های پاسخ و تعیین رکوردهایی با بیشترین اختلاف بین طیف‌های پاسخ با اثر جهت‌پذیری پیش‌رونده و بدون اثر آن برای رکوردها در جهت‌های شرق-غرب (E-W) و شمال-جنوب (N-S)، مناسب‌ترین رکوردها برای تحلیل تعیین گردید.

جدول ۷: مشخصات رکوردهای مختلف زلزله چی‌چی برای ترسیم طیف‌های پاسخ با میرایی ۵٪

(Tr) پریود غالب	PGD (cm)		PGV (cm)		PGA (g)		نام ایستگاه‌ها جهت رکورد	محده‌ده گسل
	N-S	E-W	N-S	E-W	N-S	E-W		
۱۳/۱۴۶	۹/۸۱۴	۳۲۴/۲۸	۶۹۷/۸۲	۱۸۵/۲۱	۲۱۸/۵۵	۰/۴۷	۰/۴۵	بالا
۷/۵۳۲	۱۲/۵۵۸	۱۵۸/۱۲	۴۵۸/۴۲	۸۴/۴۴	۵۸/۱	۰/۳۳	۰/۲	بالا
۱۱/۹۱۴	۱۳/۲۴۴	۳۶۵/۵۴	۷۸۳/۰۰	۶۸/۵۸	۲۸۵/۶۶	۰/۴۶	۰/۵۱	بالا
۸/۷۶۴	۱۲/۶۹۸	۳۶۹/۲۴	۲۸۸/۳۱	۴۴/۱۶	۷۳/۶۰	۰/۳۸	۰/۱۱	بالا
۱۱/۴۹۴	۱۵/۶۱	۱۶۷/۱۵	۲۷۷/۱۸	۴۴/۷۱	۸۳/۶۸	۰/۴۴	۰/۶۵	میانه
۵/۹۶۴	۴/۷۷۴	۹۶/۱۲	۱۶۴/۴۰	۲۵۴/۳۰	۱۱۱/۷۹	۰/۳۸	۰/۳۲	میانه
۵/۳۹	۶/۴۴	۵۸/۹۷	۷۹/۷۴	۵۵/۷۶	۶۴/۶۶	۰/۴۴	۰/۴۳	میانه
۶/۴۸۲	۵/۳۰۶	۱۰۳/۳۶	۱۸۸/۴۵	۶۳/۶۴	۷۸/۵۴	۰/۱۱	۰/۲۳	میانه
۶/۵۵۲	۵/۱۹۴	۷۶/۴۴	۱۵۴/۸۹	۴۷/۵۸	۳۳/۱۰	۰/۱۴	۰/۲۸	پایین
۶/۵۱	۵/۶۱۴	۸۳/۱۲	۷۹/۵۴	۷۴/۷۶	۵۲/۴۸	۰/۱۹	۰/۱۷	پایین
۱/۰۵	۲/۵۷۶	۶۶/۱۲	۱۰۹/۰۰	۱۰۲/۱۱	۷۷/۷۴	۰/۵۴	۰/۷۶	پایین
۳/۷۵۲	۴/۶۹	۵۴/۴۶	۶۸/۹۰	۵۸/۹۴	۱۹۳/۱۹	۰/۴۴	۰/۵۹	پایین
								CHY074



شکل ۷: موقعیت ایستگاه‌های مختلف و منتخب جهت برداشت رکوردهای ثبت شده برای زلزله چی‌چی [45]

۵- بحث و بررسی یافته‌ها

در این بخش ابتدا نتایج حاصل از آنالیز رکوردهای مختلف زلزله چی‌چی و طیف پاسخ به دست آمده جهت انجام تحلیل تاریخچه زمانی و همچنین نحوه جداسازی خصوصیت جهت‌پذیری پیش‌رونده شتابنگاشت‌ها با پالس‌های غالب سرعت ارائه می‌شود. در ادامه پاسخ

²⁵ <https://www.seismosoft.com/SeismoSignal>

رفتار سازه‌های ۱۰ طبقه و ۱۵ طبقه مورد مطالعه بر حسب فاکتورهای کلیدی عملکرد سازه یعنی دریفت (جابجایی نسبی) طبقات و برش پایه میان طبقه‌ای تحت اثر تحلیل تاریخچه زمانی با اعمال رکوردهای منتخب زلزله چی‌چی در جهت‌های شرق-غرب (E-W) و شمال-جنوب (N-S) مورد بحث قرار می‌گیرد. لازم به ذکر است که رکوردهای منتخب زلزله برای انجام تحلیل‌های تاریخچه زمانی در دو حالت با در نظر گرفتن اثر جهت‌پذیری پیش‌روندۀ بدون آن (حذف پالس‌های غالب) بر روی سازه‌ها اعمال شده و پاسخ سازه بر حسب فاکتورهای مذکور مقایسه می‌گردد. درنهایت براساس نتایج حاصله، تاثیر ماهیت جهت‌پذیری پیش‌روندۀ زلزله‌ای حوزه نزدیک بر پاسخ سازه‌ها تعیین می‌شود.

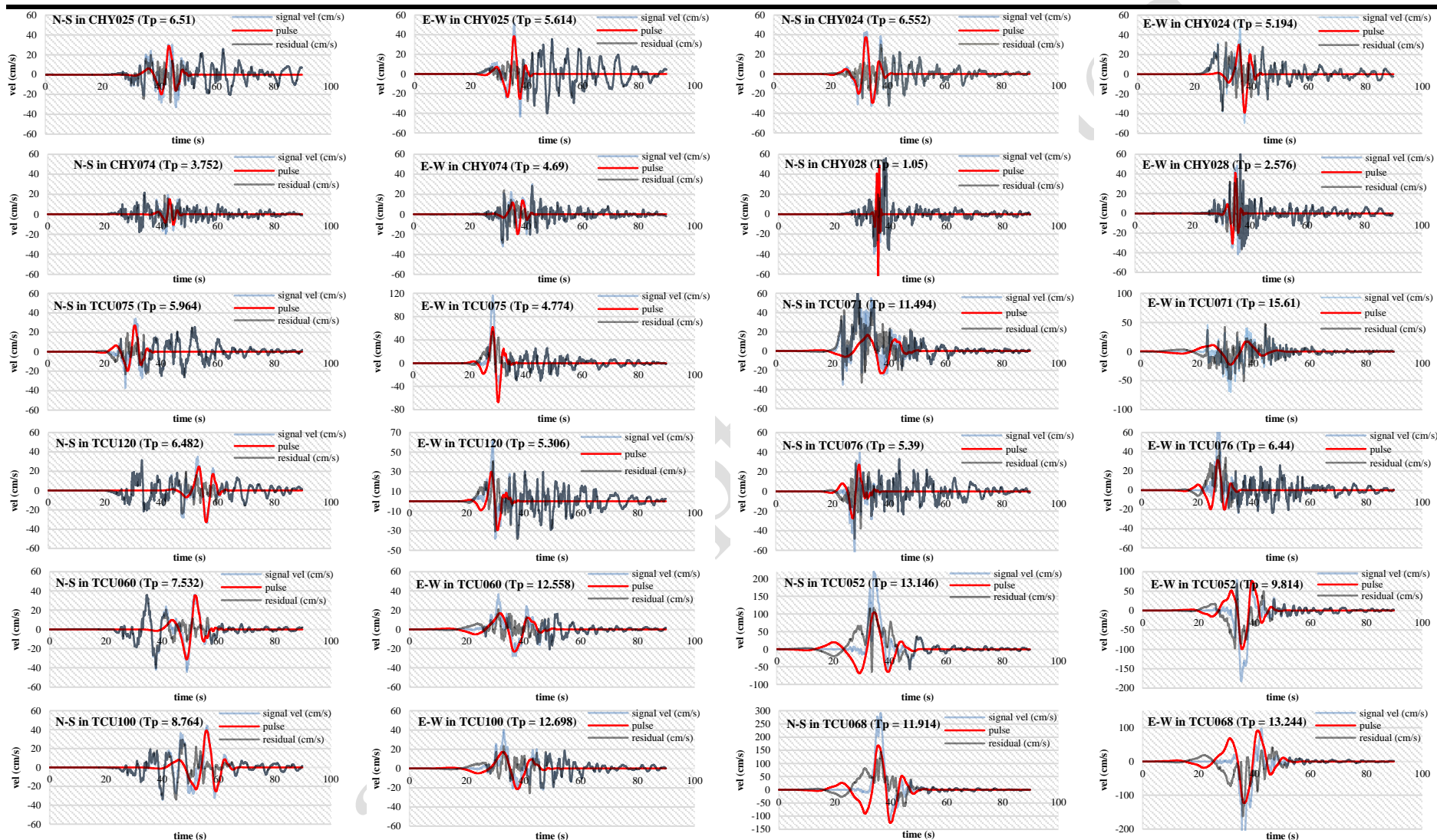
۴-۱-۵- ارزیابی خصوصیت جهت‌پذیری پیش‌روندۀ رکوردهای زلزله حوزه نزدیک

برای دستیابی به حداکثر اثر خصوصیت جهت‌پذیری پیش‌روندۀ زلزله‌ای حوزه نزدیک بر رفتار سازه‌ها، نیاز به انتخاب مناسب‌ترین رکوردها جهت انجام آنالیزهای تاریخچه زمانی می‌باشد. به همین منظور در تحقیق حاضر با بررسی طیف پاسخ رکوردهای مختلف زلزله چی‌چی، هفت رکوردي که تفاوت بیشتری در طیف پاسخ آنها با در نظر گرفتن اثر جهت‌پذیری پیش‌روندۀ بدون اثر آن وجود داشت، به عنوان رکوردهای منتخب جهت انجام تحلیل تاریخچه زمانی انتخاب شدند. نتایج آنالیز رکوردهای زلزله چی‌چی در ۱۲ ایستگاه مختلف (مطابق با جدول ۷) بر مبنای روش پیشنهادی باکر [47] در سه حالت مختلف دارای اثر جهت‌پذیری پیش‌روندۀ بدون اثر آن و حذف پالس‌های غالب از تاریخچه سرعت رکوردهای شرق-غرب (E-W) و شمال-جنوب (N-S) در شکل ۸ نشان داده شده است. علاوه بر این، شکل ۹ نتایج طیف‌های پاسخ رسم شده برای رکوردهای ثبت‌شده زلزله چی‌چی در ایستگاه‌های مختلف با میزان ۰.۵٪ دارای اثر جهت‌پذیری پیش‌روندۀ بدون اثر آن در دو جهت مذکور را نشان می‌دهد. همانگونه که در شکل ۹ مشاهده می‌شود، با در نظر گرفتن اثر جهت‌پذیری پیش‌روندۀ بدون اثر آن، هفت رکورد CHY024، TCU076، TCU075، TCU068، TCU052، TCU028 و TCU120 از زلزله چی‌چی دارای بیشترین اختلاف در طیف پاسخ می‌باشند. نتایج نشان می‌دهد که خصوصیت جهت‌پذیری پیش‌روندۀ زلزله‌ای حوزه نزدیک یعنی وجود یک پالس پریود بلند با سرعت و محتوای انرژی زیاد در این رکوردها مشهود است [21]. علاوه بر این، مطابق شکل ۹ پالس غالب دوطرفه برای این رکوردها در هر دو جهت E-W و N-S قابل مشاهده است.

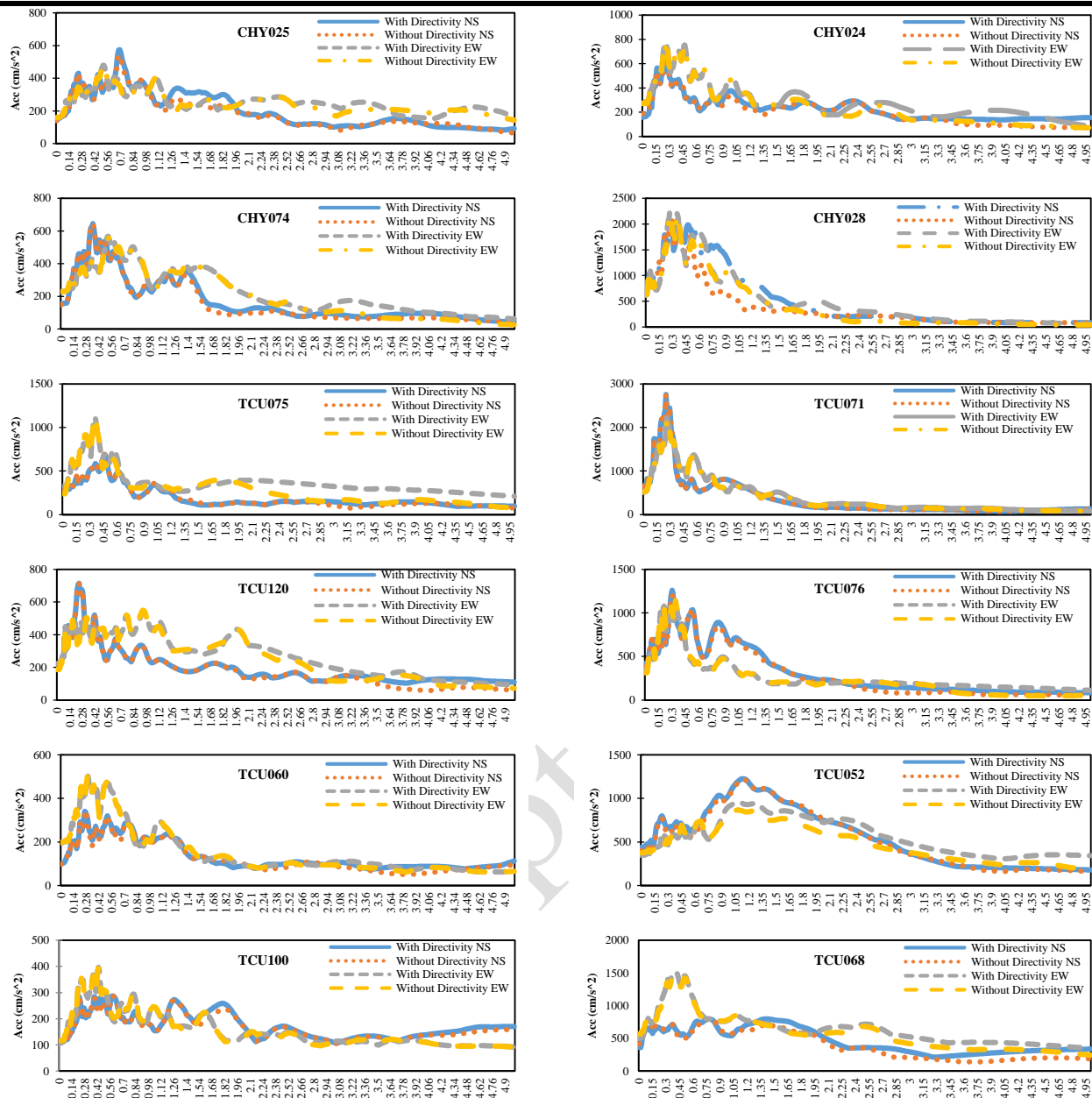
در تحلیل دینامیکی غیرخطی، زمان انجام محاسبات که تابعی از تعداد گام‌های زمانی است، از اهمیت زیادی برخوردار بوده و تاثیر بهسزایی بر هزینه محاسباتی دارد. بنابراین، تعداد گام‌های مورد نیاز در این تحلیل باید تا حد امکان کاهش یابد تا طول طیف شتاب کوتاه‌تر گردد و از هدرافت زمان تحلیل جلوگیری به عمل آید [48 و ۴۹]. برای انجام این کار می‌توان با یک تقریب قابل قبول، محدوده مؤثر حرکات نیرومند زمین بین ۰.۵٪ - ۰.۹۵٪ اثرگذاری را بر مبنای زمان تناوب و با استفاده از نرم‌افزار SeismoSignal استخراج نمود. از همین‌رو در تحقیق حاضر پس از انتخاب رکوردهای مذکور برای انجام آنالیزهای تاریخچه زمانی، در ادامه محدوده مؤثر هر یک از رکوردها در جهت‌های شرق-غرب (E-W) و شمال-جنوب (N-S) مطابق جدول ۸ استخراج شد. علاوه بر این، جدول ۹ مقادیر حداکثر پالس سرعت و حداکثر شتاب طیفی برای هفت رکوردهای منتخب زلزله چی‌چی در جهات مختلف را نشان می‌دهد.

جدول ۸: محدوده مؤثر هفت رکورد منتخب زلزله چی‌چی در جهات مختلف بر حسب زمان

رکوردهای منتخب	جهت شرق-غرب (E-W)						جهت شمال-جنوب (N-S)					
	جهت شمال-جنوب			جهت شرق-غرب			بدون جهت‌پذیری پیش‌روندۀ			با جهت‌پذیری پیش‌روندۀ		
	زمان (ثانیه)	محدوده	زمان (ثانیه)	محدوده	زمان (ثانیه)	محدوده	زمان (ثانیه)	محدوده	زمان (ثانیه)	محدوده	زمان (ثانیه)	محدوده
CHY024	۲۷/۲۵	۵۶/۴۵-۲۹/۲۰	۲۷/۲۵	۵۶,۴۷-۲۹,۲۲	۲۴/۱۹	۵۲/۱۱-۲۷/۹۲	۲۵/۰۹	۵۳/۰۱-۲۷/۹۲	۵۳/۰۱-۲۷/۹۲	۵۳/۰۱-۲۷/۹۲	۵۳/۰۱-۲۷/۹۲	۵۳/۰۱-۲۷/۹۲
CHY028	۵/۹۲	۳۵/۰۰-۲۹/۰۸	۷/۷۱	۳۶,۷۹-۲۹,۰۸	۸/۷۰	۳۶/۹۰-۲۸/۲۰	۹/۲۵	۳۷/۴۵-۲۸/۲۰	۳۷/۴۵-۲۸/۲۰	۳۷/۴۵-۲۸/۲۰	۳۷/۴۵-۲۸/۲۰	۳۷/۴۵-۲۸/۲۰
TCU052	۱۵/۹۳	۴۵/۳۴-۲۹/۴۱	۱۶/۷۷	۴۵,۴۵-۲۸,۶۸	۱۶/۷۸	۴۶/۵۲-۲۹/۷۴	۱۹/۹۹	۴۹/۱۴-۲۹/۱۵	۴۹/۱۴-۲۹/۱۵	۴۹/۱۴-۲۹/۱۵	۴۹/۱۴-۲۹/۱۵	۴۹/۱۴-۲۹/۱۵
TCU068	۱۳/۲۰	۴۵/۲۵-۳۲/۶۵	۱۵/۸۴	۴۶,۰۶-۳۰,۲۲	۱۲/۳۷	۴۴/۳۸-۳۲/۰۱	۱۳/۵۴	۴۴/۲۶-۳۰/۷۲	۴۴/۲۶-۳۰/۷۲	۴۴/۲۶-۳۰/۷۲	۴۴/۲۶-۳۰/۷۲	۴۴/۲۶-۳۰/۷۲
TCU075	۳۱/۲۰	۵۷/۱۳-۳۵/۹۳	۳۱/۵۲	۵۷,۴۲-۲۵,۹	۲۷/۰۳	۵۲/۰۵-۲۵/۰۲	۲۷/۴۲	۵۲/۳۲-۲۴/۹۰	۵۲/۳۲-۲۴/۹۰	۵۲/۳۲-۲۴/۹۰	۵۲/۳۲-۲۴/۹۰	۵۲/۳۲-۲۴/۹۰
TCU076	۲۸/۱۴	۵۳/۳۱-۲۷/۰۷	۲۸/۲۵	۵۳,۳۲-۲۵,۰۷	۲۹/۶۶	۵۳/۲۷-۲۳/۶۱	۲۹/۷۹	۵۳/۳۶-۲۳/۵۷	۵۳/۳۶-۲۳/۵۷	۵۳/۳۶-۲۳/۵۷	۵۳/۳۶-۲۳/۵۷	۵۳/۳۶-۲۳/۵۷
TCU120	۳۲/۶۱	۵۹/۰۵-۲۶/۴۴	۳۲/۹۰	۵۹,۳۴-۲۶,۴۴	۳۲/۶۵	۵۸/۸۶-۲۶/۲۱	۳۲/۲۶	۵۹/۵۷-۲۶/۲۱	۵۹/۵۷-۲۶/۲۱	۵۹/۵۷-۲۶/۲۱	۵۹/۵۷-۲۶/۲۱	۵۹/۵۷-۲۶/۲۱



شکل ۸: تاریخچه سرعت رکوردهای مختلف زلزله چی‌چی دارای اثر جهت‌پذیری پیش‌رونده، بدون آن و بالس‌های غالب جداشده از رکوردها در جهت‌های شرق-غرب (E-W) و شمال-جنوب (N-S)



شکل ۹: طیف‌های پاسخ رکوردهای مختلف زلزله‌چی‌چی دارای اثر جهت‌پذیری پیش‌روندۀ و بدون اثر آن در جهات شرق-غرب (E-W) و شمال-جنوب (N-S)

جدول ۹: مقادیر حداکثر بالس سرعت و شتاب طیفی برای هفت رکورد منتخب زلزله‌چی‌چی در جهات مختلف

رکوردهای منتخب	جهت شرق-غرب (E-W)				جهت شمال-جنوب (N-S)			
	بدون جهت‌پذیری پیش‌روندۀ		با جهت‌پذیری پیش‌روندۀ		بدون جهت‌پذیری پیش‌روندۀ		با جهت‌پذیری پیش‌روندۀ	
	پالس سرعت	شتاب طیفی	پالس سرعت	شتاب طیفی	پالس سرعت	شتاب طیفی	پالس سرعت	شتاب طیفی
CHY024	۳۲/۳۱	۸۰/۶/۳۹	۴۷/۵۸	۸/۱۱/۴۱	۲۷/۶۴	۶۹۰/۷۹	۴۲/۷۲	۲۳۸/۷۶
CHY028	۵۷/۹۲	۲۱۹۶/۹۵	۶۳/۰/۶	۱۸۳/۰/۴	۲۲۸۶/۵۸	۲۰۷۷/۳۹	۶۷/۵۷	۲۰۷۷/۴۳
TCU052	۶۹/۴۵	۸۶۴/۳۴	۱۸۳/۰/۴	۹۵۳/۹۹	۶۴/۰/۵	۱۱۹۴/۷۹	۲۱۳/۸۷	۱۲۲۶/۵۷
TCU068	۱۶۱/۸۵	۱۳۹۵/۷۸	۲۲۳/۴۷	۱۱۴۵/۰/۰	۱۴۳/۲۷	۸۰/۷/۳۴	۲۹۲/۱۷	۷۹۶/۴۰
TCU075	۵۴/۳۳	۱۱۳۲/۸۴	۱۱۳/۲۶	۱۱۲۱/۱۱	۲۵/۳۹	۶۹۸/۷۶	۳۷/۱۶	۶۹۰/۰/۸
TCU076	۴۰/۴۵	۱۱۴۱/۵۷	۱۱۴/۱	۱۱۴۵/۰/۰	۴۸/۲۴	۱۲۰/۹/۴۸	۶۳/۰/۲	۱۲۵۹/۱۴
TCU120	۴۰/۸۲	۴۲/۴۶	۴/۳۵	۴۳/۴۶	۵۴۱/۰/۹	۷۱۴/۱۳	۳۳/۳۷	۷۱۴/۱۳

۵-۲- نتایج پاسخ حداکثر دریفت (جابجایی نسبی) طبقات

شکل ۱۰ نتایج حداکثر پاسخ دریفت طبقات برای سازه ۱۰ طبقه بر اثر اعمال هفت رکورد منتخب زلزله چی‌چی را در دو حالت مختلف با در نظر گرفتن اثر جهت‌پذیری پیش‌روندۀ و بدون اثر آن (حذف پالس‌های غالب) در جهت‌های شرق-غرب (E-W) و شمال-جنوب (N-S) نشان می‌دهد. با هدف امکان مقایسه نتایج، در شکل ۱۱ حداکثر دریفت طبقات سازه ۱۰ طبقه بهارزی رکوردهای مختلف زلزله و به صورت میانگین نشان داده شده است. در این شکل خطوط توپر و خط‌چین به ترتیب نشان‌دهنده نتایج ماقزیم دریفت با اثر جهت‌پذیری پیش‌روندۀ و بدون اثر آن می‌باشند. علاوه بر این، نتایج پاسخ دریفت طبقات برای سازه ۱۵ طبقه مشابه سازه ۱۰ طبقه در دو حالت با و بدون اثر جهت‌پذیری پیش‌روندۀ برای رکوردهای مختلف زلزله چی‌چی در دو جهت E-W و N-S در شکل ۱۲ نشان داده شده است. شکل ۱۳ این نتایج را به صورت مقایسه‌ای نشان می‌دهد.

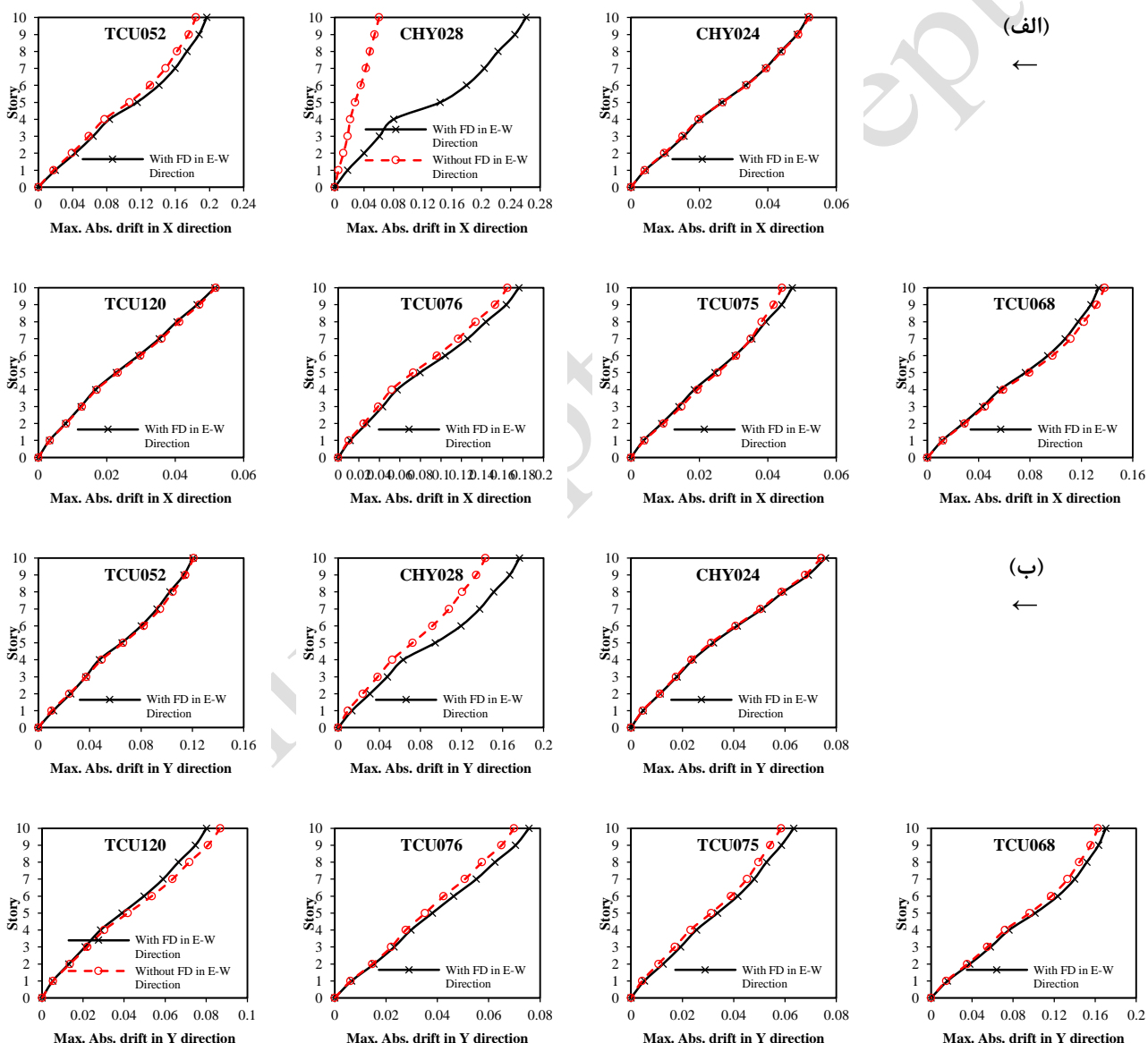
همانگونه که در شکل‌های ۱۰ و ۱۲ مشاهده می‌گردد، بیشترین پاسخ دریفت طبقات سازه‌های ۱۰ طبقه و ۱۵ طبقه در دو حالت با و بدون اثر جهت‌پذیری پیش‌روندۀ در جهت E-W به ترتیب متعلق به رکوردهای CHY028 و TCU052 می‌باشد. مطابق جدول ۵، مقدار محدوده مؤثر و حداکثر پالس سرعت رکورد ۲۸۰۲۴ در حالت با اثر جهت‌پذیری برابر با ۸/۷ ثانیه و ۶۳/۰۶ سانتیمتر بر ثانیه می‌باشد. رکورد ۲۸۰۵۲ نیز در حالت بدون اثر جهت‌پذیری به ترتیب دارای محدوده مؤثر ۹۹/۹۱۶ ثانیه و حداکثر پالس سرعت ۸۵/۱۶۱ سانتیمتر بر ثانیه می‌باشد. این نتایج نشان می‌دهد که محدوده مؤثر و پالس‌های سرعت غالب ناشی از جهت‌پذیری پیش‌روندۀ در زلزله‌های حوزه نزدیک تاثیری بر پاسخ دریفت سازه‌های مورد مطالعه ندارد. چراکه رکوردهایی با محدوده مؤثر پالس‌های غالب بیشتر، الزاماً اثرگذاری بیشتری را بر پاسخ دریفت طبقات سازه‌ها نسبت به رکوردهای با محدوده مؤثر کمتر از خود بر جای نگذاشتند. با این حال، عاملی که سبب ایجاد اختلاف زیاد در پاسخ دریفت طبقات سازه‌ها در اثر اعمال رکوردهای مختلف می‌شود را می‌توان در مقادیر شتاب طیفی به دست آمده برای آنها مطابق با طیف‌های پاسخ شکل ۹ جستجو کرد؛ جایی که دو رکورد ۲۸۰۵۲ و CHY028 بیشترین شتاب طیفی (به ترتیب ۵/۸۶ و ۵/۸۲ سانتیمتر بر مجدور ثانیه) را در مقایسه با سایر رکوردها دارا می‌باشند و همین موضوع سبب افزایش پاسخ دریفت طبقات سازه‌ها تحت اثر این رکوردها گردیده است. ذکر این نکته ضروری است که علاوه بر پالس سرعت و شتاب طیفی، عوامل دیگری همچون نحوه اعمال انرژی، مدت زمان و محتوای فرکانسی زلزله‌های حوزه نزدیک نیز بر پاسخ دریفت سازه‌ها تأثیرگذار است.

نتایج مذکور برای سازه‌های ۱۰ طبقه و ۱۵ طبقه در جهت N-S در حالت با اثر جهت‌پذیری پیش‌روندۀ به طور مشترک مربوط به رکوردهای ۲۸۰۶۸ و TCU068 و در حالت بدون اثر جهت‌پذیری متعلق به رکورد ۲۸۰۶۸ TCU068 می‌باشد. محدوده مؤثر و حداکثر پالس سرعت رکورد ۲۸۰۶۸ به ترتیب برابر ۵/۹۲ ثانیه و ۵/۵۷ سانتیمتر بر ثانیه می‌باشد. مقادیر محدوده مؤثر و حداکثر پالس سرعت برای رکورد ۲۸۰۶۸ در دو حالت با و بدون اثر جهت‌پذیری به ترتیب برابر با ۲/۱۳ و ۲/۱۷ ثانیه و ۲۷/۲۲ و ۲۷/۱۷ سانتیمتر بر ثانیه می‌باشد. همچون قبل به‌وضوح می‌توان مشاهده نمود که محدوده مؤثر و بیشترین پالس سرعت، عوامل تأثیرگذاری بر پاسخ دریفت طبقات سازه‌های مورد مطالعه نبوده و این موضوع در اثر دارا بودن شتاب طیفی بیشتر توسط این رکوردها در مقایسه با سایر رکوردها رخداده است.

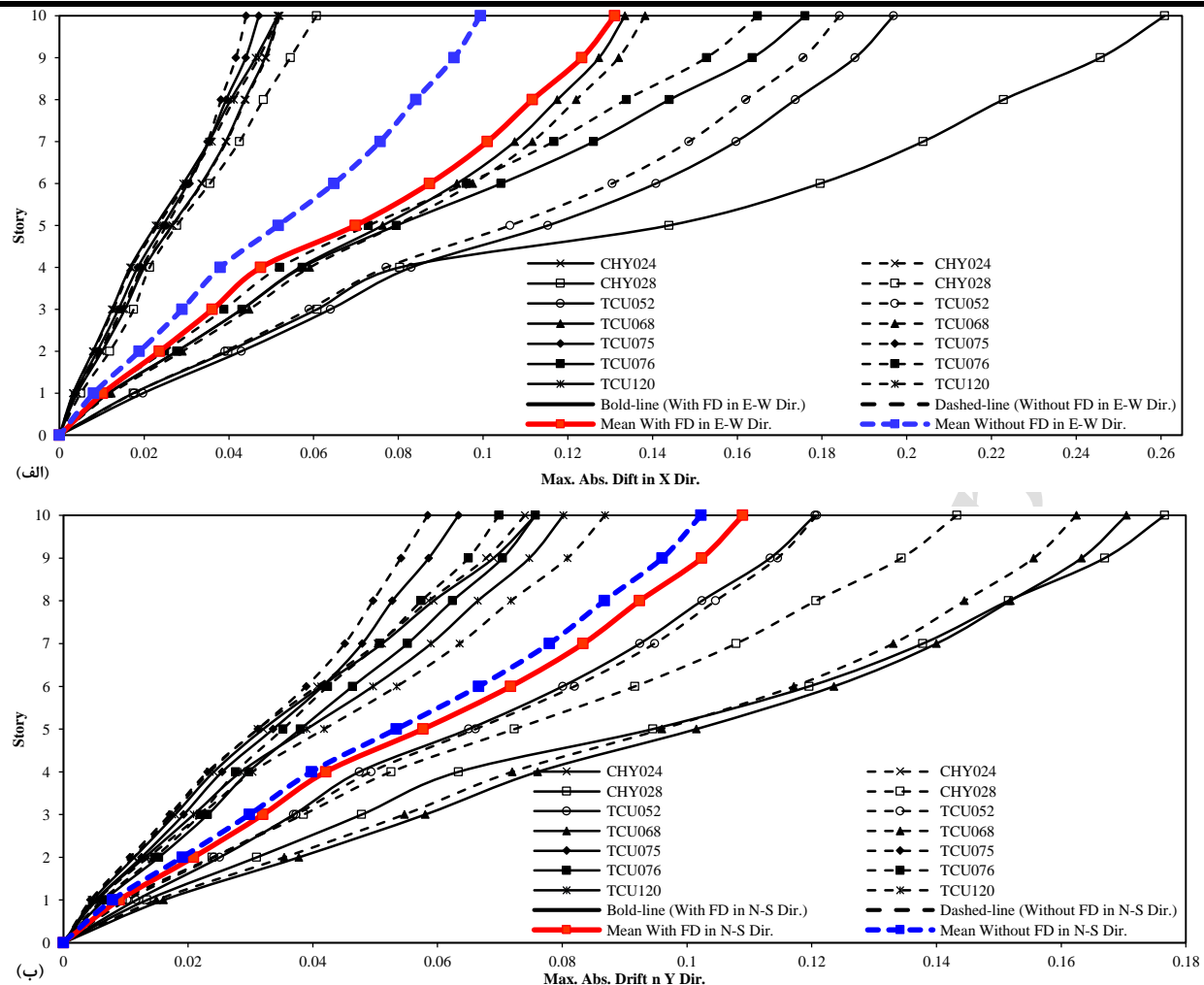
بررسی اثر خصوصیت جهت‌پذیری پیش‌روندۀ رکوردهای مختلف زلزله چی‌چی در شکل‌های ۱۱ و ۱۳ نشان می‌دهد که خصوصیت مذکور همیشه تاثیر یکنواختی بر پاسخ دریفت طبقات سازه نداشته و از الگوی ثابتی پیروی نمی‌کند. چراکه براساس نتایج حاصله در نظر گرفتن جهت‌پذیری پیش‌روندۀ برای رکوردهای زلزله در جهات E-W و N-S در مقایسه با عدم درنظرگیری این اثر، در برخی موارد منجر به افزایش پاسخ دریفت طبقات و در برخی موارد باعث کاهش آن شده است. علاوه بر این براساس نتایج به دست آمده مشاهده می‌گردد که برخی از رکوردها به دلیل دارا بودن خصوصیت جهت‌پذیری پیش‌روندۀ (پالس سرعت) نزدیک به هم، اثرگذاری نسبتاً یکسانی را بر پاسخ دریفت طبقات سازه‌ها داشته‌اند. این موضوع بیانگر تاثیر پارامترهای دخیل دیگری علاوه بر خصوصیت جهت‌پذیری ناشی زلزله‌های حوزه نزدیک بر رفتار سازه‌ها می‌باشد. با این حال، با مشاهده شکل‌های ۱۱ و ۱۳ می‌توان دریافت که میانگین پاسخ دریفت طبقات سازه‌های مورد مطالعه در حالت اعمال اثر جهت‌پذیری پیش‌روندۀ بیشتر از حالت عدم اعمال این اثر در هر دو جهت E-W و N-S

است. این موضوع نشان می‌دهد که عدم در نظر گرفتن اثر جهت‌پذیری زلزله‌های حوزه نزدیک ممکن است باعث عدم تعیین دقیق رفتار سازه‌ها گردد.

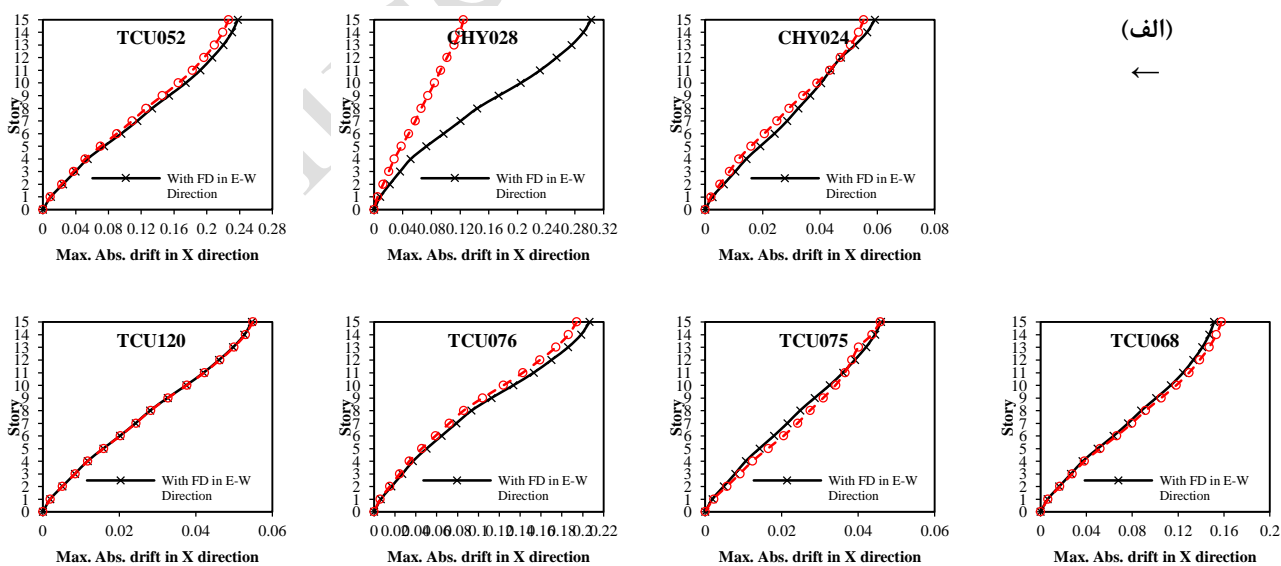
نتیجه حائز اهمیت دیگری که از مقایسه شکل‌های ۱۱ و ۱۳ قابل مشاهده است، اختلاف بیشتر بین پاسخ دریفت در طبقات بالاتر سازه‌های مورد مطالعه است که این موضوع می‌تواند ناشی از پریود بالاتر طبقات بالای سازه‌ها و تاثیرگذاری بیشتر پالس‌های سرعت رکورد زلزله با پریود بالا بر روی این طبقات باشد. به عبارت بهتر، پالس‌های بلند سرعت ناشی از خصوصیت جهت‌پذیری پیش‌روندۀ در زلزله‌های حوزه نزدیک به دلیل دارا بودن پریود بالا، مودهای بالاتر سازه را تحریک کرده و با کاهش پریود (حذف پالس‌های غالب در حالت بدون اثر جهت‌پذیری) اثر مودهای بالاتر سازه از بین می‌رود. این موضوع با افزایش تعداد طبقات و ارتفاع سازه از اثرگذاری بیشتری برخوردار بوده و همین موضوع در نظر گرفتن اثر مودهای بالاتر برای سازه‌های بلندتر در آئین‌نامه‌های طراحی لرزه‌ای در مقابل زلزله‌های حوزه نزدیک را حائز اهمیت‌تر می‌سازد.

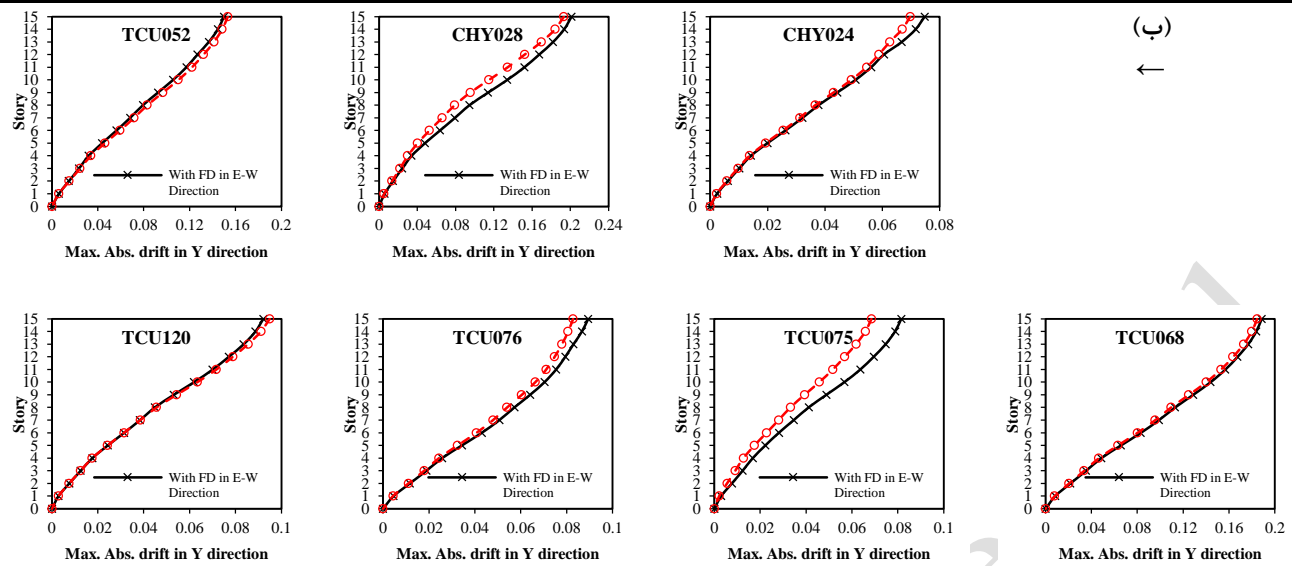


شکل ۱۰: حداقل دریفت طبقات سازه ۱۰ طبقه تحت اثر هفت طبقه رکورد منتخب زلزله چی‌چی در جهت‌های (الف) شمال-جنوب (N-S) و (ب) شرق-غرب (E-W)

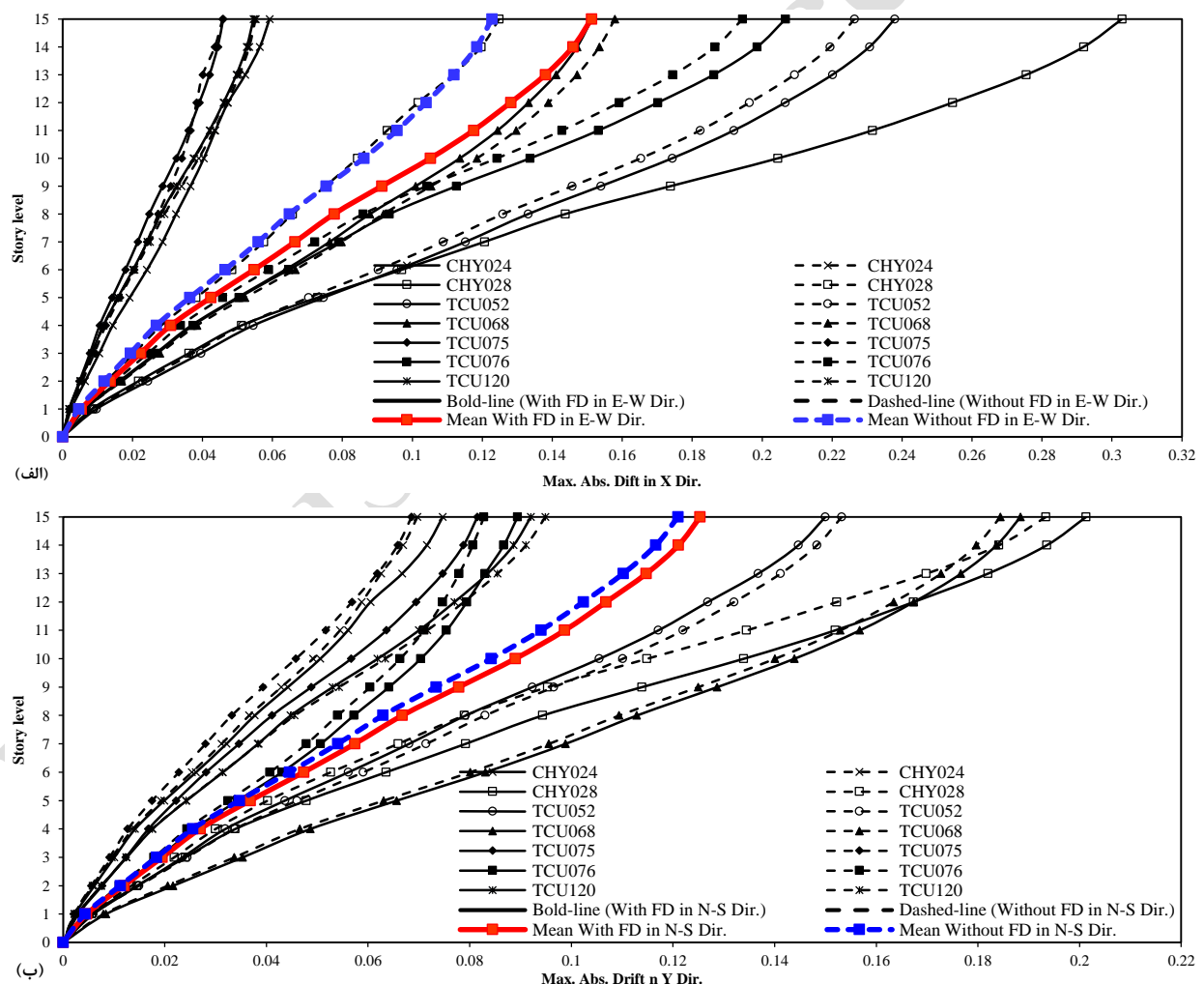


شکل ۱۱: مقایسه نتایج حداکثر دریفت طبقات سازه ۱۰ طبقه تحت اثر هفت رکورد منتخب زلزله چی چی در دو حالت مختلف با و بدون اثر جهت‌پذیری در جهت‌های (الف) شرق-غرب (E-W) و (ب) شمال-جنوب (N-S)





شکل ۱۲: حداقل دریفت طبقات سازه ۱۵ طبقه تحت اثر هفت رکورد منتخب زلزله چی چی در جهت‌های (الف) شرق-غرب (E-W) و (ب) شمال-جنوب (N-S)



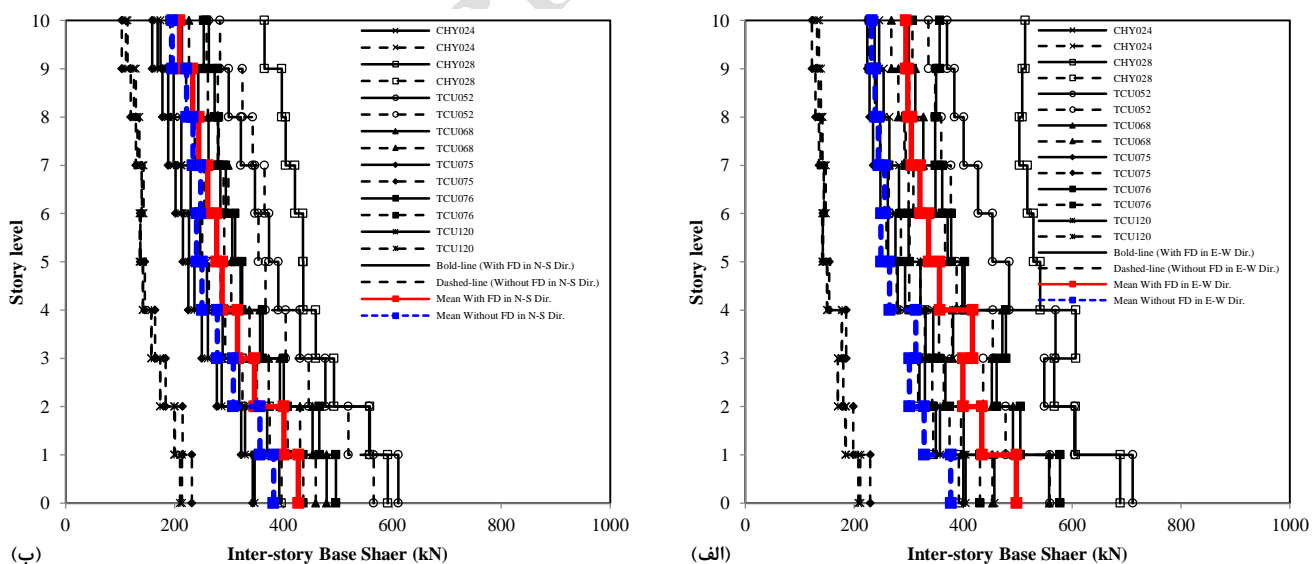
شکل ۱۳: مقایسه نتایج حداقل دریفت طبقات سازه ۱۵ طبقه تحت اثر هفت رکورد منتخب زلزله چی چی در جهت‌های (الف) شرق-غرب (E-W) و (ب) شمال-جنوب (N-S)

۳-۵- نتایج برش پایه طبقات

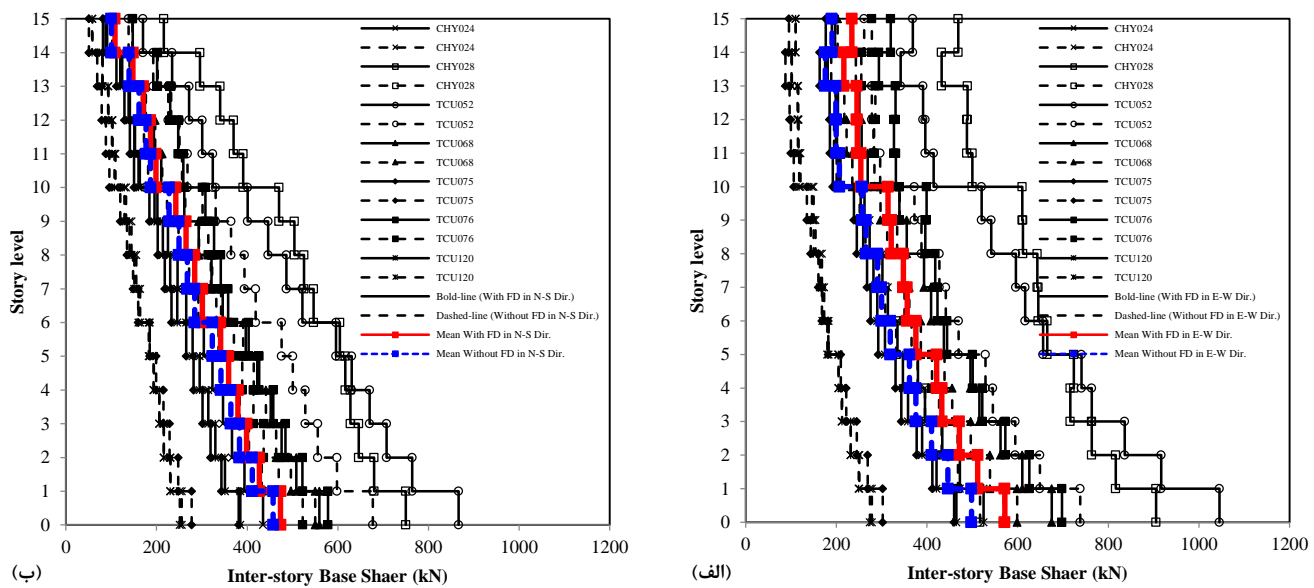
شکل‌های ۱۴ و ۱۵ به ترتیب نتایج برش پایه بین طبقه‌ای برای سازه‌های ۱۰ طبقه و ۱۵ طبقه را بر اثر اعمال هفت رکورد منتخب زلزله چی‌چی در دو حالت مختلف با در نظر گرفتن اثر جهت‌پذیری پیش‌روندۀ و بدون اثر آن و در جهت‌های شرق-غرب (E-W) و شمال-جنوب (N-S) نشان می‌دهند. در این شکل‌ها خطوط توپر و خط‌چین به ترتیب نشان‌دهنده نتایج برش پایه بین طبقه‌ای با اثر جهت‌پذیری پیش‌روندۀ و بدون اثر آن می‌باشند. همانند نتایج به دست آمده درخصوص نیازهای تقاضای دریفت طبقات در سازه‌های مورد مطالعه، بیشترین پاسخ برش طبقات نیز در دو حالت با و بدون اثر جهت‌پذیری پیش‌روندۀ در جهات E-W و N-S مربوط به رکوردهای زلزله با شتاب‌های طیفی بیشتر می‌باشد. این موضوع مجدداً بر اثر گذاری بیشتر رکوردهایی با حداکثر شتاب طیفی اشاره دارد.

علاوه بر این، با عنایت به نتایج به دست آمده در شکل‌های ۱۴ و ۱۵ مشاهده می‌شود که ظرفیت برش پایه طبقات در سازه‌های مورد مطالعه تحت اثر رکوردهای حوزه نزدیک با پالس جهت‌پذیری نسبت به رکوردهای بدون پالس در هر دو جهت E-W و N-S در برخی موارد قدری بیشتر بوده و گاه‌آن بر هم منطبق می‌شوند. این موضوع بیانگر تاثیر پارامترهای دخیل دیگری علاوه بر خصوصیت جهت‌پذیری ناشی زلزله‌های حوزه نزدیک بر پوش پایه طبقات در سازه‌ها می‌باشد. با این حال، مطابق شکل ۱۴ میانگین نیروی برشی طبقات در سازه ۱۰ طبقه تحت اثر خصوصیت جهت‌پذیری در جهت‌های E-W و N-S به ترتیب به اندازه ۲۳/۳۸٪ و ۹/۵۸٪ بزرگتر از رکوردهای بدون اثر جهت‌پذیری می‌باشد. علاوه بر این، همانگونه که در شکل ۱۵ مشاهده می‌شود، در سازه ۱۵ طبقه میانگین نیروی برشی بین طبقه‌ای در جهت‌های E-W و N-S به ترتیب به اندازه ۱۵/۵۳٪ و ۴/۸۸٪ بزرگتر از رکوردهای بدون اثر جهت‌پذیری است. این موضوع تأثیر پالس‌های سرعت با دامنه بالا در اثر خصوصیت جهت‌پذیری زلزله‌های حوزه نزدیک را نشان می‌دهد. این موضوع نشان‌دهنده اهمیت بالای در نظر گرفتن اثر جهت‌پذیری زلزله‌های حوزه نزدیک جهت تعیین دقیق نیازهای ظرفیت برشی سازه‌هاست.

نتیجه حائز اهمیت دیگر که از مقایسه نتایج به دست آمده در شکل‌های ۱۴ و ۱۵ می‌توان استخراج نمود این است که با افزایش تعداد طبقات و ارتفاع سازه، تاثیر مودهای بالاتر در رکوردهای دارای خصوصیت جهت‌پذیری پیش‌روندۀ غلبه بیشتری داشته و بهدلیل تاثیر این مودهای در رکوردها، نیازهای لرزه‌ای بر پوش پایه طبقات بالاتر به تدریج افزایش یافته است. به عبارت دیگر، بهدلیل پریود پالس بالای ناشی از خصوصیت جهت‌پذیری پیش‌روندۀ در زلزله‌های حوزه نزدیک، ساختمانهای با پریود بلندتر تحت اثر این زلزله‌ها رفتار بحرانی‌تری از خود نشان می‌دهند.



شکل ۱۴: مقایسه نتایج برش پایه طبقات سازه ۱۰ طبقه تحت اثر هفت رکورد منتخب زلزله چی‌چی در دو حالت مختلف با و بدون اثر جهت‌پذیری در جهت‌های (الف) شرق-غرب (E-W) و (ب) شمال-جنوب (N-S)



شکل ۱۵: مقایسه نتایج برش پایه طبقات سازه ۱۵ طبقه تحت اثر هفت رکورد منتخب زلزله چی چی در دو حالت مختلف با و بدون اثر جهت‌پذیری در جهات (الف) شرق-غرب (E-W) و (ب) شمال-جنوب (N-S)

۶- نتیجه گیری

در پژوهش حاضر به بررسی اثر جهت‌پذیری پیش‌روندۀ ناشی از حرکات پالس‌مانند زلزله‌های حوزه نزدیک گسل بر رفتار لرزه‌ای سازه‌های بتن مسلح پرداخته شد. بدین منظور ابتدا رکوردهای حاصل از ایستگاه‌های مختلف زلزله چی چی به عنوان مبنای انتخاب شتابنگاشت‌ها تعیین شد. سپس با استفاده از روش‌های تحلیلی، طیف پاسخ این شتابنگاشت‌ها با در نظر گرفتن اثر جهت‌پذیری پیش‌روندۀ شتابنگاشت‌ها تعیین شد. نتایج حذف پالس‌های غالب از این رکوردها در جهات شرق-غرب (E-W) و شمال-جنوب (N-S) تعیین شد. با انجام تحلیل و بدون آن و همچنین حذف پالس‌های غالب از این رکوردها در جهات شرق-غرب (E-W) و شمال-جنوب (N-S) تعیین شد. با انجام تحلیل تاریخچه زمانی بر روی سازه‌های ۱۰ طبقه و ۱۵ طبقه برای هفت رکورد ایستگاهی از زلزله مذکور، دریفت (جابجایی نسبی) طبقات مورد بررسی قرار گرفت. نتایج تحقیق حاضر به‌طور خلاصه به شرح زیر قابل بیان است:

۱. نتایج بررسی اثر خصوصیت جهت‌پذیری پیش‌روندۀ رکوردهای مختلف زلزله چی چی نشان داد که این خصوصیت همیشه تاثیر یکنواختی بر پاسخ لرزه‌ای سازه‌ها (دریفت و برش پایه میان طبقه‌ای) نداشته و از الگوی ثابتی پیروی نمی‌کند. چراکه براساس نتایج حاصله در نظر گرفتن جهت‌پذیری پیش‌روندۀ رکورد زلزله در جهات شرق-غرب (E-W) و شمال-جنوب (N-S)، در برخی موارد منجر به افزایش پاسخ طبقات و در برخی موارد باعث کاهش آن شده است. این موضوع بیانگر تاثیر پارامترهای دخیل دیگری علاوه بر جهت‌پذیری پیش‌روندۀ ناشی زلزله‌های حوزه نزدیک بر رفتار سازه‌ها می‌باشد.
۲. ارزیابی پاسخ دریفت و برش پایه طبقات سازه‌های مورد مطالعه نشان می‌دهد که محدوده مؤثر و پالس‌های سرعت غالب ناشی از جهت‌پذیری پیش‌روندۀ در زلزله‌های حوزه نزدیک تنها عوامل تأثیرگذار بر پاسخ سازه‌ها نبوده و دلیل اصلی ایجاد اختلاف زیاد در پاسخ دریفت طبقات سازه‌ها تحت اثر رکوردهای مختلف ناشی از مقادیر شتاب نسبی بیشتر برای این رکوردهاست.
۳. میانگین پاسخ دریفت و برش پایه طبقات سازه‌های مورد مطالعه در حالت اعمال اثر جهت‌پذیری پیش‌روندۀ بیشتر از حالت عدم اعمال این اثر در هر دو جهت E-W و N-S است. این موضوع نشان می‌دهد که عدم در نظر گرفتن اثر جهت‌پذیری زلزله‌های حوزه نزدیک ممکن است باعث عدم تعیین دقیق رفتار سازه‌ها گردد. بنابراین نحوه تعیین طیف‌های پاسخ زلزله‌های حوزه نزدیک در آئینه نامه ۲۸۰۰ ایران جای تأمل داشته و برای حفظ اثر جهت‌پذیری پیش‌روندۀ در این زلزله‌ها لازم است تدبیر ویژه‌ای اندیشیده شود که با فیلترسازی متداول رکورد زلزله‌ها کاملاً متفاوت است. این موضوع لزوم در نظر گرفتن

اطلاعاتی مبنی بر محدوده مجاز نزدیک به ساختگاه تا منبع لرزه‌زا و حدود و نوع گسل‌شن شتابنگاشت‌های مورد استفاده در ارائه طیف طرح آئین‌نامه ۲۸۰۰ را بسیار حائز اهمیت می‌نماید.

۴. نتایج بررسی اثر جهت‌پذیری پیش‌روندۀ زلزله‌های حوزه نزدیک گسل نشان داد که پاسخ لرزه‌های سازه‌های مورد مطالعه در جهت W-E در برخی موارد تا حدود ۳۰ درصد بیشتر از جهت N-S می‌باشد. با توجه به تعداد محدود سازه‌های تحلیل شده در این تحقیق نمی‌توان ادعا نمود که در صورت استفاده از دستورالعمل‌های آئین‌نامه ۲۸۰۰ برای فیلترسازی شتابنگاشت زلزله‌های حوزه نزدیک و تعیین طیف پاسخ آنها، اینمی سازه‌ها به دلیل بروز جابجایی‌های بیشتر مخدوش می‌شود، ولی لزوم بررسی بیشتر و نیاز به ارائه طیف‌های پاسخ برای این زلزله‌ها به‌وضوح روشن است. بنابراین نیاز به یک بازنگری جدی در ضوابط طراحی آئین‌نامه ۲۸۰۰ و به کارگیری ضرایب و تحلیل‌های دقیق‌تر جهت در نظر گرفتن پارامترهایی مانند شرایط ساختگاه، جهت انتشار شکست گسل نسبت به ساختگاه و فاصله از صفحه گسیختگی و مواردی از این دست در ضوابط طراحی سازه‌ها ضروری است.

۵. با افزایش تعداد طبقات و ارتفاع سازه و نتیجتاً افزایش پریود آن، تاثیر جهت‌پذیری پیش‌روندۀ رکوردهای زلزله بر پاسخ طبقات بالاتر سازه‌ها افزایش می‌یابد. بدین معنی که با افزایش ارتفاع، دریفت و برش پایه طبقات در جهات مختلف افزایش بیشتری از خود نشان می‌دهد. این موضوع ناشی از پریود بالاتر طبقات بالایی سازه و تاثیرگذاری بیشتر پالس‌های سرعت رکورد زلزله با پریود بالا بر روی این طبقات باشد. به عبارت بهتر، پالس‌های بلند سرعت ناشی از خصوصیت جهت‌پذیری پیش‌روندۀ در زلزله‌های حوزه نزدیک به دلیل دارا بودن پریود بالا، مودهای بالاتر سازه را تحريك کرده و با کاهش پریود (حذف پالس‌های غالب در حالت بدون اثر جهت‌پذیری) اثر مودهای بالاتر سازه از بین می‌رود. این موضوع با افزایش تعداد طبقات و ارتفاع سازه از اثرگذاری بیشتری برخوردار بوده و همین موضوع در نظر گرفتن اثر مودهای بالاتر برای سازه‌های بلندتر در آئین‌نامه‌های طراحی لرزه‌ای در مقابل زلزله‌های حوزه نزدیک را حائز اهمیت‌تر می‌سازد. در این خصوص بایستی به این نکته اشاره کرد که نیاز شکل‌پذیری بالا در طبقات بالاتر سازه‌های با زمان تناوب بالا باعث می‌شود که برخلاف تصور رایج که هرقدر شدت زلزله بیشتر باشد، بایستی طبقات پایین‌تر سازه را تقویت نمود، در این حالت باید طبقات بالایی سازه تقویت گردد.

مراجع

- [۱] Bray, J.D., and Rodriguez-Marek, A. (2004). Characterization of forward–directivity ground motions in the near-fault region, *Soil Dynamics and Earthquake Engineering*, 24(11), 815–828.
- [۲] Archuleta, R.J., and Hartzell, S.H. (1981). Effects of fault finiteness on near-source ground motion, *Bulletin of the Seismological Society of America*, 71(4), 939–957.
- [۳] Chen, X., Liu, Y., Zhou, B., and Yang, D. (2020). Seismic response analysis of intake tower structure under near-fault ground motions with forward–directivity and fling–step effects, *Soil Dynamics and Earthquake Engineering*, 132, <https://doi.org/10.1016/j.soildyn.2020.106098>.
- [۴] Malhotra, P.K. (1999). Response of buildings to near-field pulse-like ground motions, *Earthquake Engineering and Structural Dynamics*, 28(11), 1309–1326.
- [۵] Hall, J.F., Heaton, T.H., Halling, M.W., and Wald, D.J. (1995). Near-source ground motion and its effects on flexible buildings, *Earthquake Spectra*, 11(4), 569–604.
- [۶] Dicleli, M., and Buddaram, S. (2007). Equivalent linear analysis of seismic-isolated bridges subjected to near-fault ground motions with forward rupture directivity effect, *Engineering Structures*, 29(1), 21–32.
- [۷] FEMA 356, (2000). *Prestandard and commentary for the seismic rehabilitation of buildings*, Prepared by the American Society of Civil Engineers for the Federal Emergency Management Agency, Washington D.C.
- [۸] Bhagat, S., Wijeyewickrema, A.C., and Subedi, N. (2021). Influence of near-fault ground motions with fling–step and forward–directivity characteristics on seismic response of base-isolated buildings, *Journal of Earthquake Engineering*, 25(3), 455–474.

- [۱] Moniri, H. (2017). Evaluation of seismic performance of reinforced concrete (RC) buildings under near-field earthquakes, *International Journal of Advanced Structural Engineering*, 9, 13–25.
- [۲] Saha, S., Karthik Reddy, K.S.K., and Somala, S.N. (2022). Seismic assessment of steel frame subjected to simulated directivity earthquakes: The unilaterality of fault normal component at various rupture distances, *Journal of Building Engineering*, 47, <https://doi.org/10.1016/j.jobe.2021.103880>.
- [۳] Rodriguez-Marek, A., and Bray, J.D. (2006). Seismic site response for near-fault forward directivity ground motions, *Journal of Geotechnical and Geoenvironmental Engineering*, 132(12), 1611–1620.
- [۴] Anderson, J.C., and Bertero, V.V. (1987). Uncertainties in establishing design earthquakes, *Journal of Structural Engineering*, 113(8), 1709–1724.
- [۵] Stewart, J.P., Chiou, S.-J., Bray, J.D., Graves, R.W., Somerville, P.G., and Abrahamson, N.A. (2002). Ground motion evaluation procedures for performance-based design, *Soil Dynamics and Earthquake Engineering*, 22(9–12), 765–772.
- [۶] Akkar, S., Moghimi, S., and Arıcı, Y. (2018). A study on major seismological and fault-site parameters affecting near-fault directivity ground-motion demands for strike-slip faulting for their possible inclusion in seismic design codes, *Soil Dynamics and Earthquake Engineering*, 104, 88–105.
- [۷] Ruiz-García, J., and Ramos-Cruz, J.M. (2020). Assessment of permanent drift demands in steel moment-resisting steel buildings due to recorded near-fault forward directivity earthquake ground motions and velocity pulse models, *Structures*, 27, 1260–1273.
- [۸] Mahmoud, S., Alqarni, A., Saliba, J., Ibrahim, A.H., Genidy, M., and Diab, H. (2021). Influence of floor system on seismic behavior of RC buildings to forward directivity and fling-step in the near-fault region, *Structures*, 30, 803–817.
- [۹] Champion, C., and Liel, A. (2012). The effect of near-fault directivity on building seismic collapse risk, *Earthquake Engineering and Structural Dynamics*, 41(10), 1391–1409.
- [۱۰] Beiraghi, H., Kheyroddin, A., and Kafi, M.A. (2016). Forward directivity near-fault and far-fault ground motion effects on the behavior of reinforced concrete wall tall buildings with one and more plastic hinges, *Structural Design Tall Spectrum Buildings*, 25(11), 519–539.
- [۱۱] Mwafy, A., Elnashi, A., Sigbjörnsson, R., and Salama, A. (2006). Significance of sever distance and moderate close earthquake on design and behavior of tall building, *The Structural Design of Tall and Special Building*, 15, 391–416.
- [۱۲] Gillie, J.L., Rodriguez-Marek, A., and McDaniel, C. (2010). Strength reduction factors for near-fault forward-directivity ground motions, *Engineering Structure*, 32(1), 273–285.
- [۱۳] Bolt, B.A. (1971). The San Fernando valley, California, earthquake of February 9 1971: Data on seismic hazards. *Bulletin of the seismological society of America*, 61(2), 501–510.
- [۱۴] Hudson, D.E., and Housner, G.W. (1958). An analysis of strong motion accelerometer data from the SanFrancisco earthquake of March 22, 1957, *Bulletin of the Seismological Society of America*, 48 (3), 253–268.
- [۱۵] Bertero, V.V., Mahin, S.A., and Herrera, R.A. (1978). Aseismic design implications of near-fault SanFernando earthquake records, *Earthquake Engineering and Structural Dynamics*, 6(1), 31–42.
- [۱۶] Makris, N., and Black, C.J. (2004). Evaluation of peak ground velocity as a “good” intensity measure for near-source ground motions. *Journal of Engineering Mechanics*, 130(9), 1032–1044.
- [۱۷] Hall, J.F., Heaton, T.H., Halling, M.W., and Wald, D.J. (1995). Nearsource ground motion and its effects on flexible buildings. *Earthquake Spectra*, 11(4), 569–605.
- [۱۸] Heaton, T.H., Hall, J.F., Wald, D.J., and Halling, M.W. (1995). Response of high-rise and base-isolated buildings to a hypothetical MW 7.0 blind thrust earthquake. *Science*, 267, 206–211.
- [۱۹] Iwan, W.D. (1997). Drift spectrum: Measure of demand for earthquake ground motions. *Journal of Structural Engineering*, 123(4), 397–404.
- [۲۰] Somerville, P.G., Smith, N.F., Graves, R.W., and Abrahamson, N.A. (1997). Modification of empirical strong ground motion attenuation relations to include the amplitude and duration effects of rupture directivity, *Seismological Research Letters*, 68, 199–222.

- [۲۹] Li, Sh., and Xie, L-L. (2007). Progress and trend on near-field problems in civil engineering, *CTA Seismologica Sinica*, 20(1), 105–114.
- [۳۰] Tang, Y., and Zhang, J. (2011). Response spectrum-oriented pulse identification and magnitude scaling of forward directivity pulses in near-fault ground motions, *Soil Dynamics and Earthquake Engineering*, 31(1), 59–76.
- [۳۱] Makris, N., and Chang, S.P. (2010). Effect of visco-plastic and friction damping on the response on seismic isolated structures, *Earthquake Engineering and Structural Dynamics*, 29(1), 85-107.
- [۳۲] Elnashai, A.S., and Di Sarno, L. (2015). *Fundamentals of earthquake engineering: from source to fragility*. John Wiley & Sons.
- [۳۳] Kalkan, E., and Kunnath, S.K. (2006). Effects of fling step and forward directivity on seismic response of buildings, *Earthquake Spectra*, 22(2), 367-390.
- [۳۴] Mukhopadhyay, S., and Gupta, V.K. (2013). Directivity pulses in near-fault ground motions—I: Identification, extraction and modeling, *Soil Dynamics and Earthquake Engineering*, 50, 1-15.
- [۳۵] Bolt, B.A. (2002). *Estimation of strong seismic ground motions*. International handbook of earthquake and engineering seismology, 983–1001.
- [۳۶] Mavroeidis, G.P., and Papageorgiou, A.S. (2003). A mathematical representation of near-fault ground motions. *Bulletin of the seismological society of America*, 93(3), 1099-1131.
- [۳۷] Abrahamson, N.A., and Silva, W.J. (1997). Empirical response spectral attenuation relations for shallow crustal earthquakes. *Seismological research letters*, 68(1), 94–127.
- [۳۸] Mavroeidis, G.P., and Papageorgiou, A.S. (2003). A mathematical representation of near-fault ground motions, *Bulletin of the Seismological Society of America*, 93, 1099–1131.
- [۳۹] Publication 360. (2018). *Guidelines for seismic improvement*, First Edition, Building and Housing Research Center.
- [۴۰] Sixth issue of the National Building Regulations of Iran. (2018). *Loads on the building*, *Office of Development and Promotion of National Building Regulations*, Ministry of Housing and Urban Development, Deputy Minister of Housing and Construction (In Persian).
- [۴۱] ACI Standard (ACI 318-99). (1999). *American Concrete Institute*, Building code requirements for structural concrete and commentary, Edition January.
- [۴۲] Nine issue of the National Building Regulations of Iran. (2018). *Design and implementation of reinforced concrete buildings*, Office of Development and Promotion of National Building Regulations, Ministry of Housing and Urban Development, Deputy Minister of Housing and Construction (In Persian).
- [۴۳] Standard 2800. (2018). *Earthquake Design Regulations*, Fourth Edition Building and Housing Research Center.
- [۴۴] Building Seismic Safety Council (BSSC). (2000). *Pre-standard commentary for the seismic rehabilitation of buildings*, FEMA356, Washington (DC): Federal Emergency Management Agency.
- [۴۵] Wang, G.Q., Zhou, X.Y., and Zhang, P.Z. (2002). Characteristics of amplitude and duration for near fault strong ground motion from the 1999 Chi-Chi Taiwan earthquake, *Soil Dynamics and Earthquake Engineering*, 22(1), 73–96.
- [۴۶] PEER. (2006). *Next Generation Attenuation Database*, Pacific Earthquake Engineering Research Center, <http://peer.berkeley.edu/nga/index.html>.
- [۴۷] Baker, J.W. (2007). Quantitative classification of near-fault ground motions using wavelet analysis, *Bulletin of the Seismological Society of America*, 97(5), 1486-1501.
- [۴۸] Torabi, H., and Rayhani, M. (2014). Three dimensional finite element modeling of seismic soil structure interaction in soft soil. *Computers and Geotechnics*, 60, 9–19.
- [۴۹] Tajammolian, H., Khoshnoudian, F., Rad, A.R., and Loghman, V. (2018). Seismic Fragility Assessment of Structures Supported on TCFP Bearings Subjected to Near-field Earthquakes. *Structures*, 13, 66–78.